

Министерство образования и науки Российской Федерации
Федеральное государственное автономное образовательное учреждение высшего образования

САНКТ-ПЕТЕРБУРГСКИЙ НАЦИОНАЛЬНЫЙ ИССЛЕДОВАТЕЛЬСКИЙ
УНИВЕРСИТЕТ ИНФОРМАЦИОННЫХ ТЕХНОЛОГИЙ, МЕХАНИКИ И ОПТИКИ

Факультет систем управления и робототехники

Отчет по лабораторной работе №6
«Устойчивость систем с запаздыванием»
по дисциплине «Теория автоматического управления»

Выполнил: студент гр. R3238,
Кирбаба Д.Д.

Преподаватель: Перегудин А.А.,
ассистент фак. СУиР

Цель работы

Анализ устойчивости замкнутых линейных систем с запаздыванием

Начальные данные

8 вариант

Параметры:

$$a_2 = 1, a_1 = 6, a_0 = 7, b_1 = 1, b_0 = 1$$

Выполнение работы

1. Расчет критических значений запаздывания в замкнутой системе

1.1.

Передаточная функция разомкнутой системы без запаздывания:

$$W_{open}(s) = \frac{k(s+1)}{s^2 + 6s + 7}$$

Передаточная функция замкнутой системы:

$$W_{closed}(s) = \frac{W_{open}(s)W_{\tau}(s)}{1 + W_{open}(s)W_{\tau}(s)} = \frac{k(s+1)e^{-\tau s}}{s^2 + 6s + 7 + k(s+1)e^{-\tau s}}$$

1.2. Частотные характеристики разомкнутой системы

Частотная передаточная функция:

$$\begin{aligned} W_{open}(j\omega) &= \frac{k(j\omega + 1)}{-\omega^2 + 6j\omega + 7} \cdot \frac{6j\omega - (7 - \omega^2)}{6j\omega - (7 - \omega^2)} = \frac{k(6j\omega - 7 + \omega^2 - 6\omega^2 - 7j\omega + j\omega^3)}{-36\omega^2 - (7 - \omega^2)^2} = \\ &= \frac{k(5\omega^2 + 7)}{\omega^4 + 22\omega^2 + 49} + \frac{k(-\omega^3 + \omega)}{\omega^4 + 22\omega^2 + 49}j = U(\omega) + V(\omega)j \end{aligned}$$

АЧХ:

$$A_{open}(\omega) = \sqrt{U^2(\omega) + V^2(\omega)} = \frac{k\sqrt{\omega^6 + 23\omega^4 + 71\omega^2 + 49}}{\omega^4 + 22\omega^2 + 49}$$

ФЧХ:

$$\Psi_{open}(\omega) = \text{atan2}(V(\omega), U(\omega)) = \text{atan}\left(\frac{-\omega^3 + \omega}{5\omega^2 + 7}\right)$$

ФЧХ не зависит от коэффициента усиления k

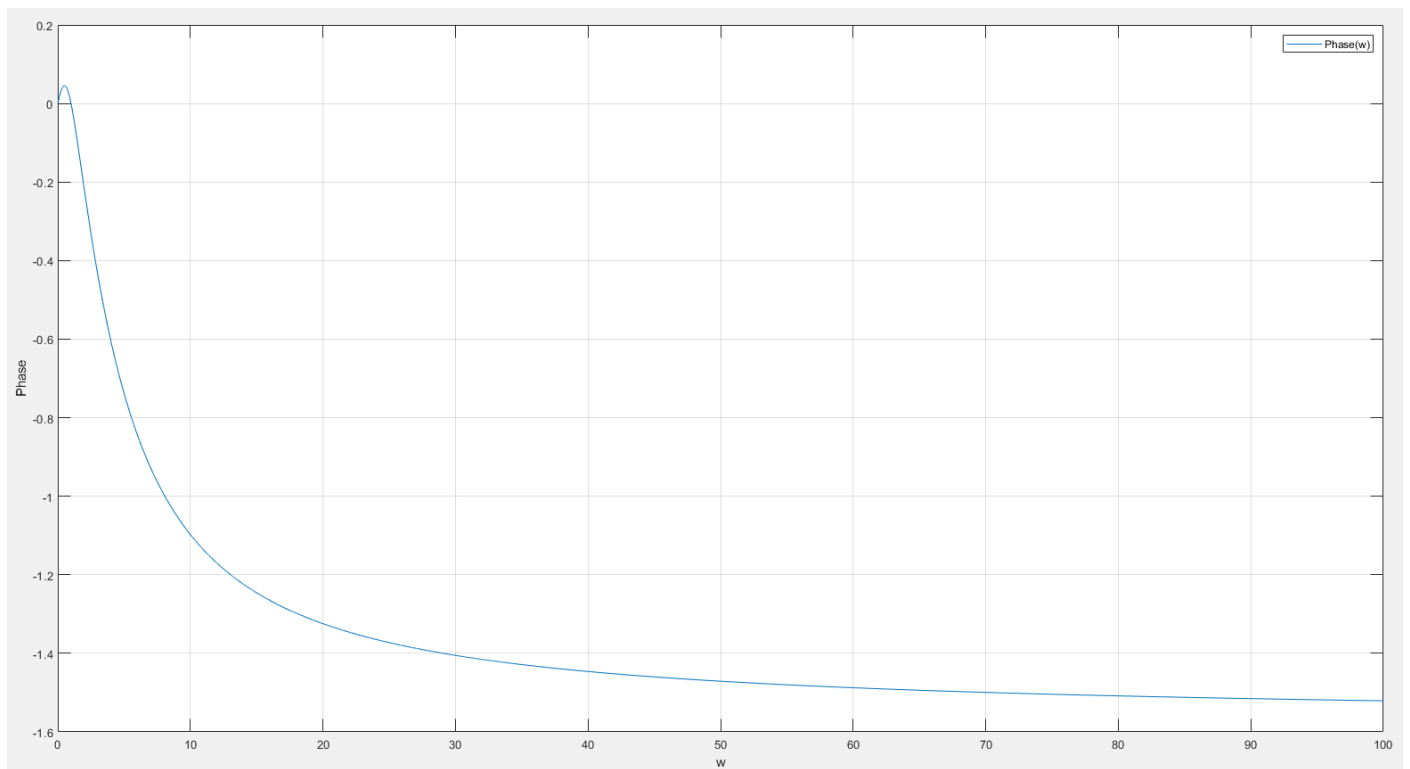


Рисунок 1: график ФЧХ разомкнутой системы

$k = 1$

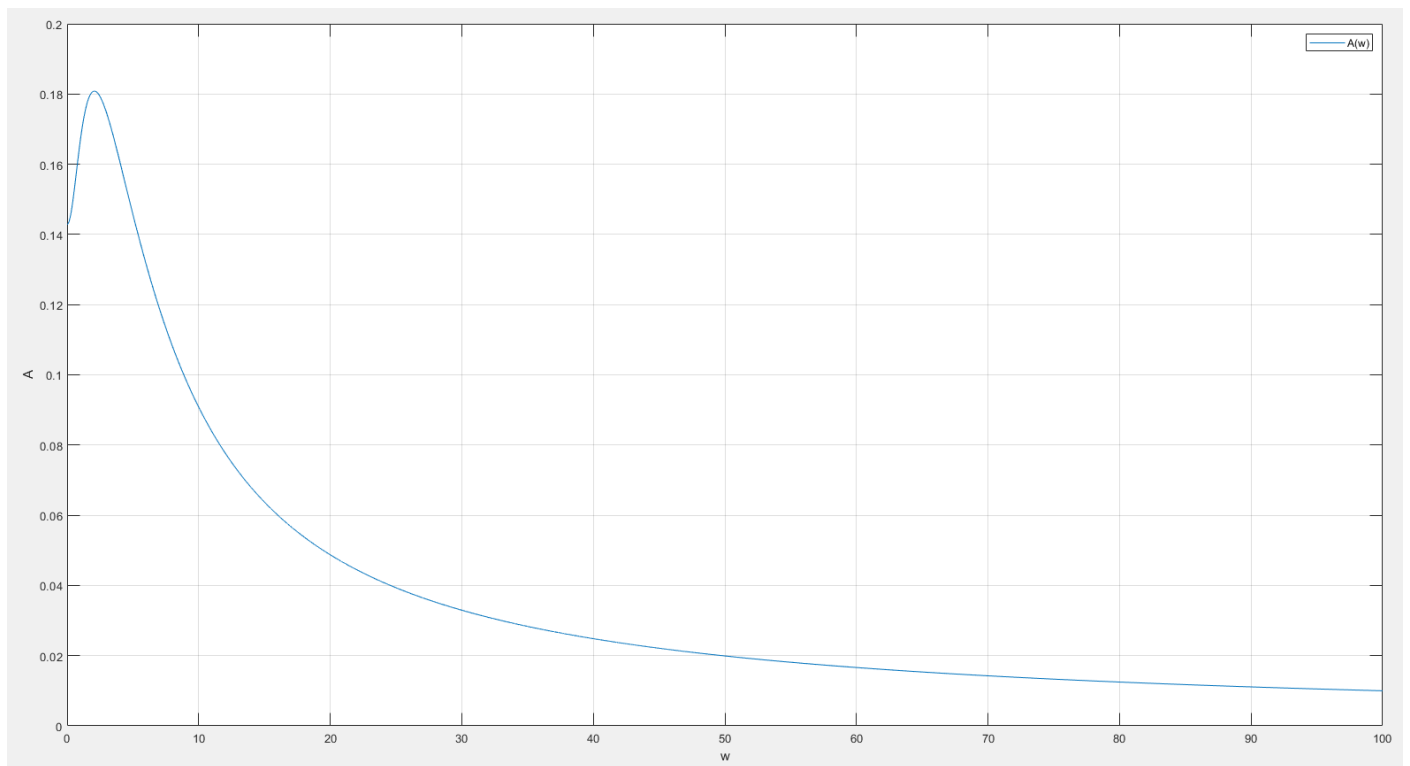


Рисунок 2: график АЧХ разомкнутой системы при $k=1$

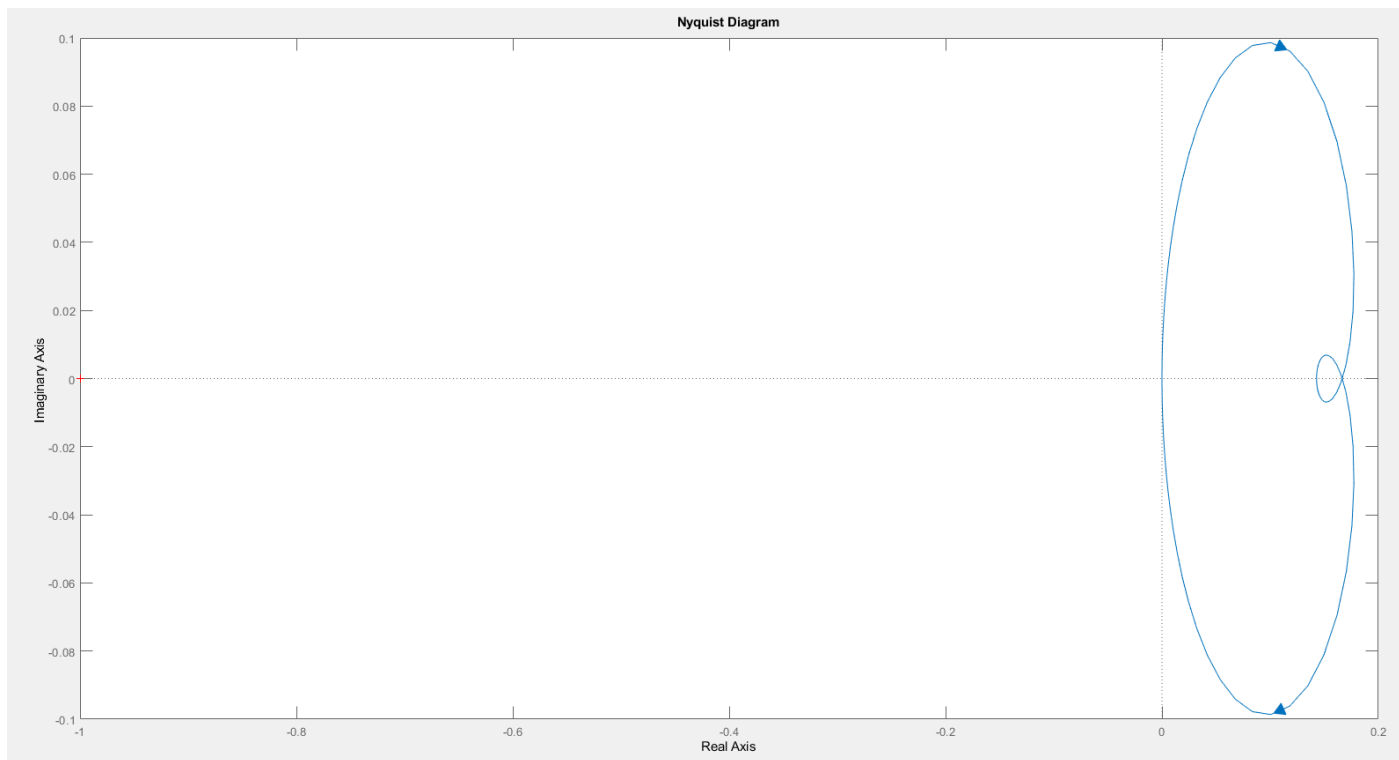


Рисунок 3: график АФЧХ разомкнутой системы при $k=1$

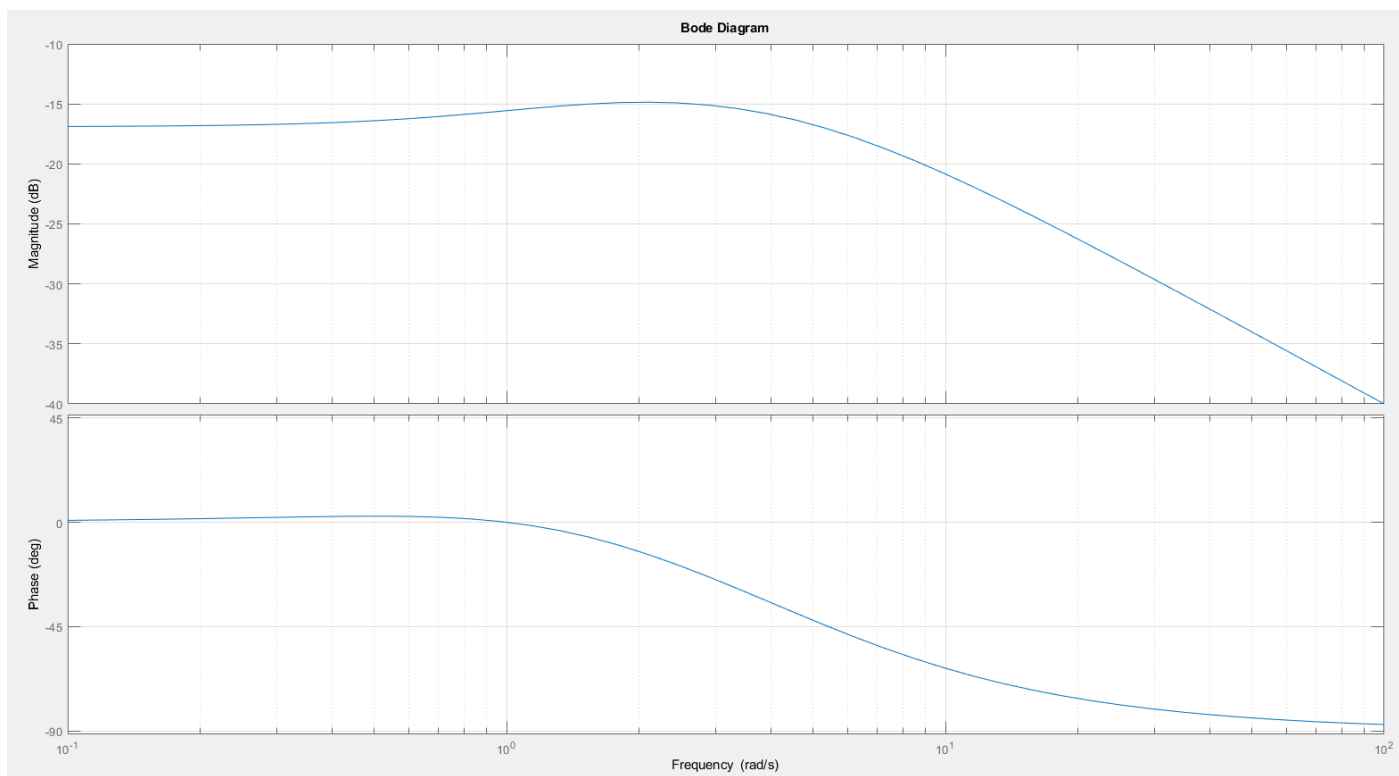


Рисунок 4: графики ЛАЧХ и ЛФЧХ разомкнутой системы при $k=1$

$k=5$

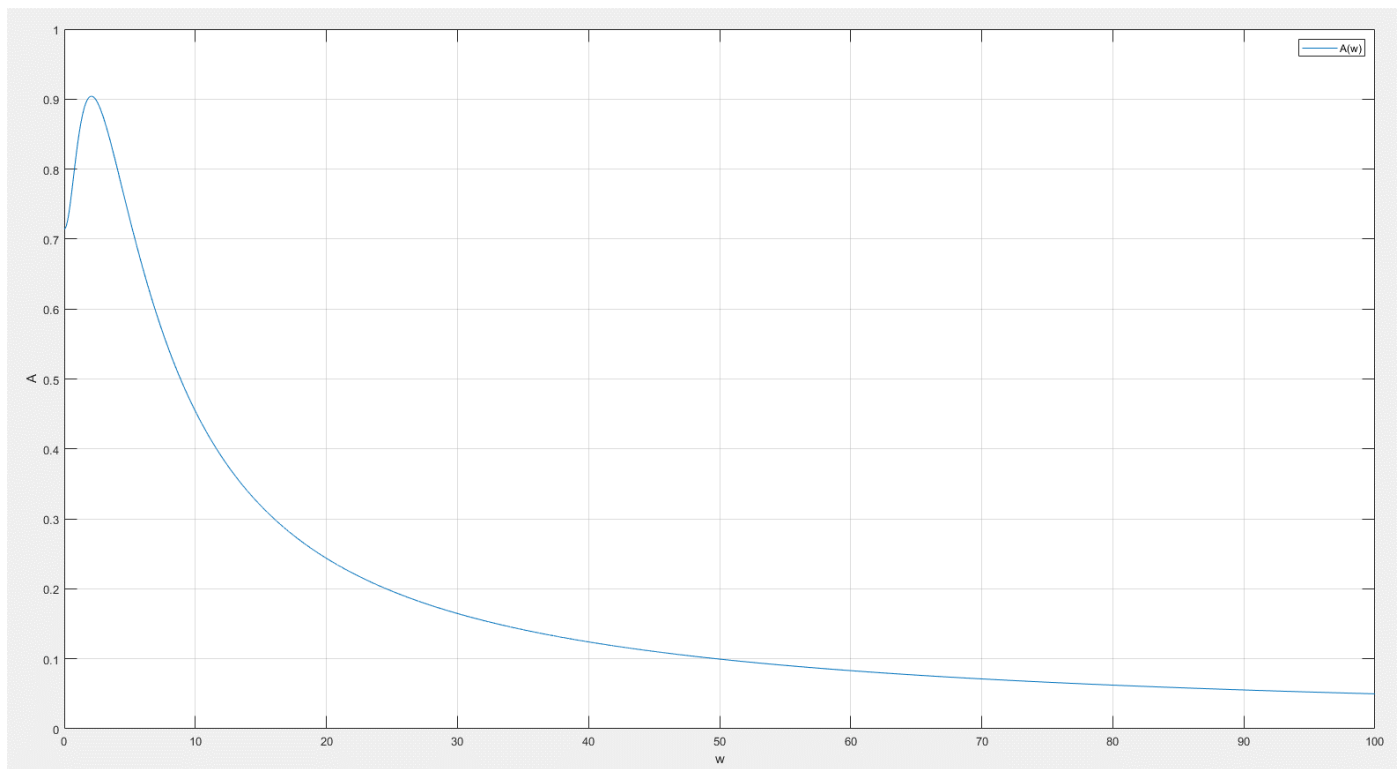


Рисунок 5: график АЧХ разомкнутой системы при $k=5$

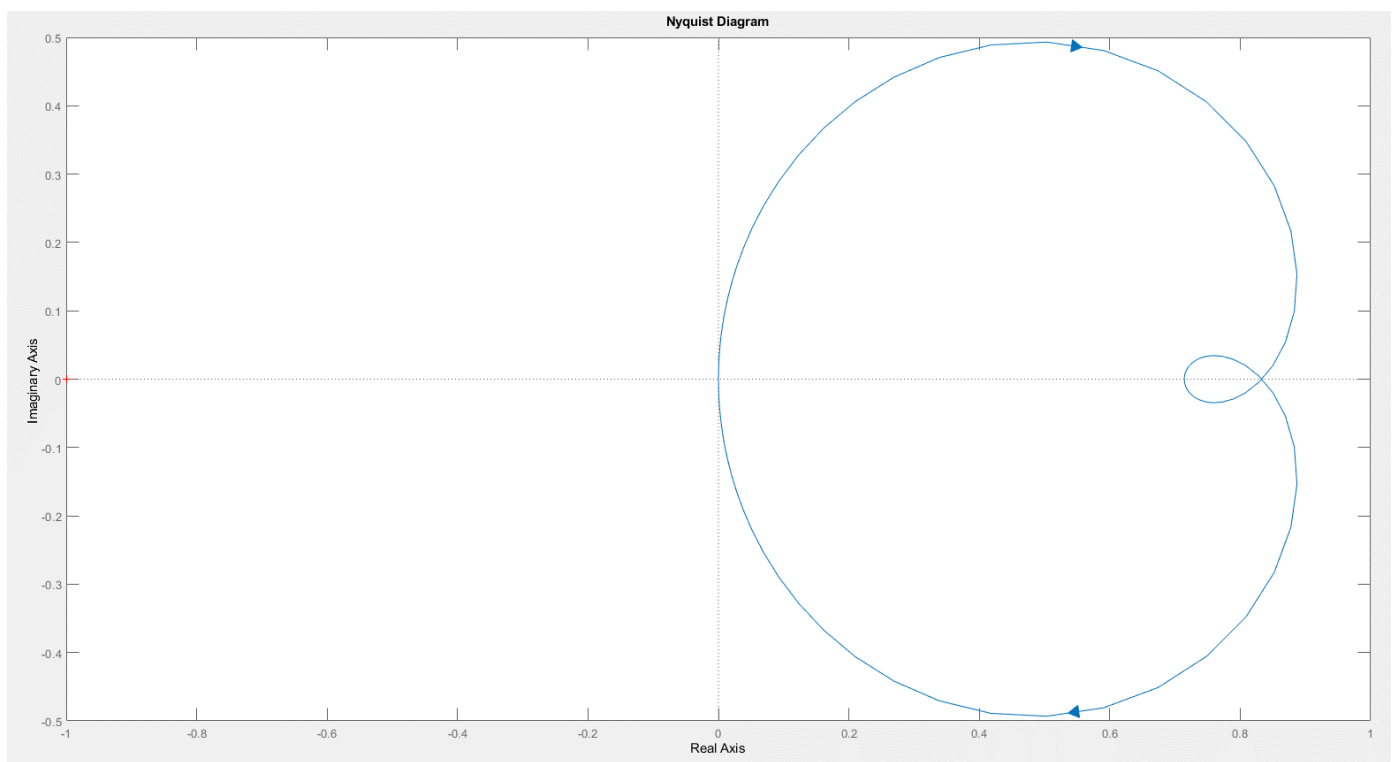


Рисунок 6: график АФЧХ разомкнутой системы при $k=5$

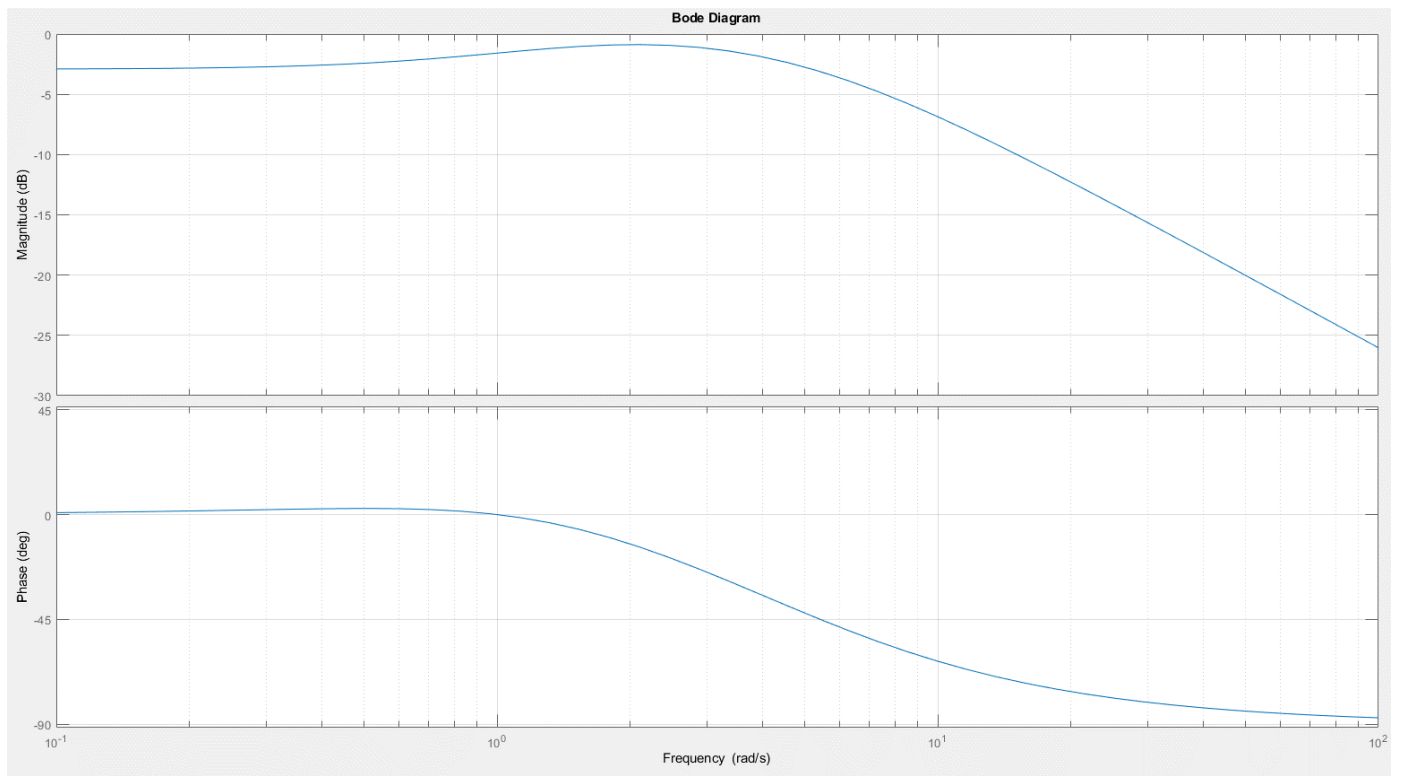


Рисунок 7: графики ЛАЧХ и ЛФЧХ разомкнутой системы при $k = 5$

$k = 10$

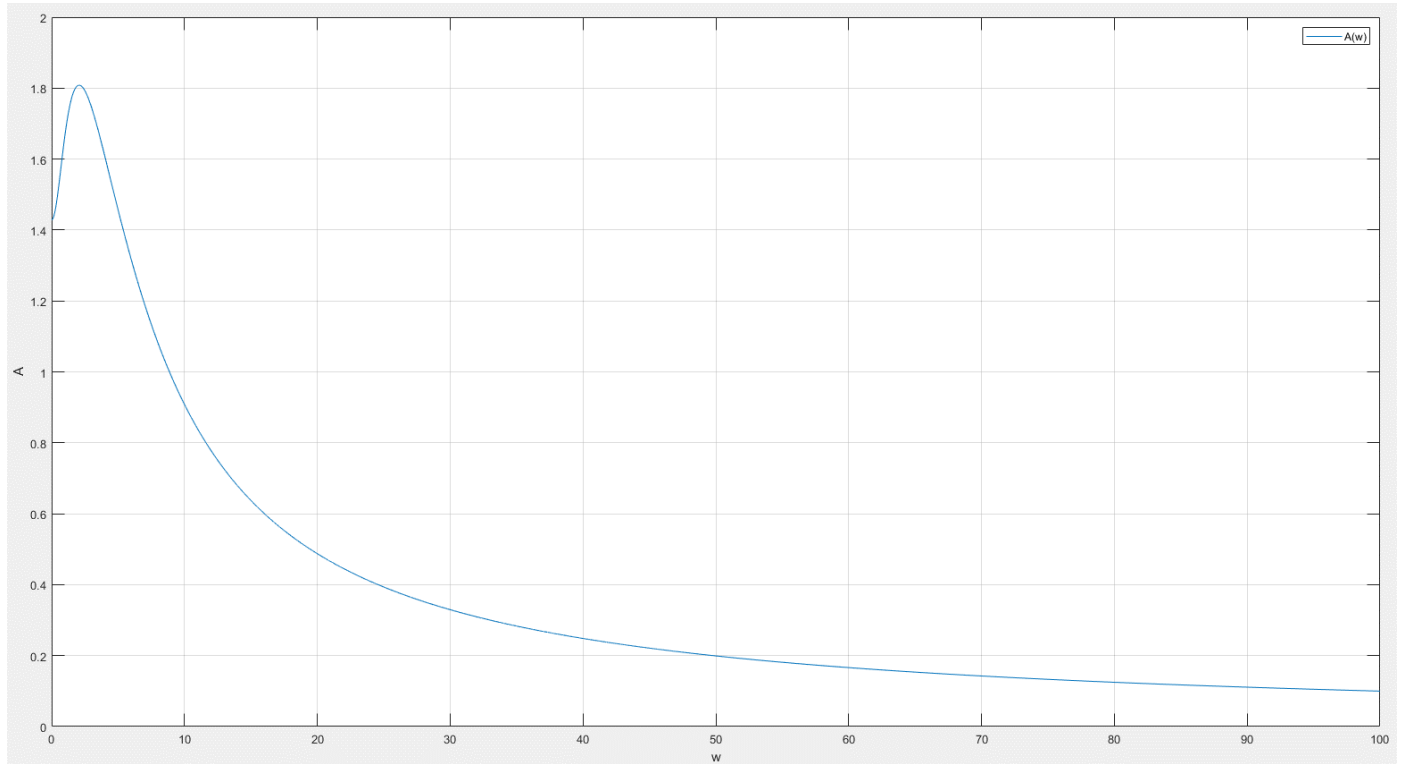


Рисунок 8: график АЧХ разомкнутой системы при $k=10$

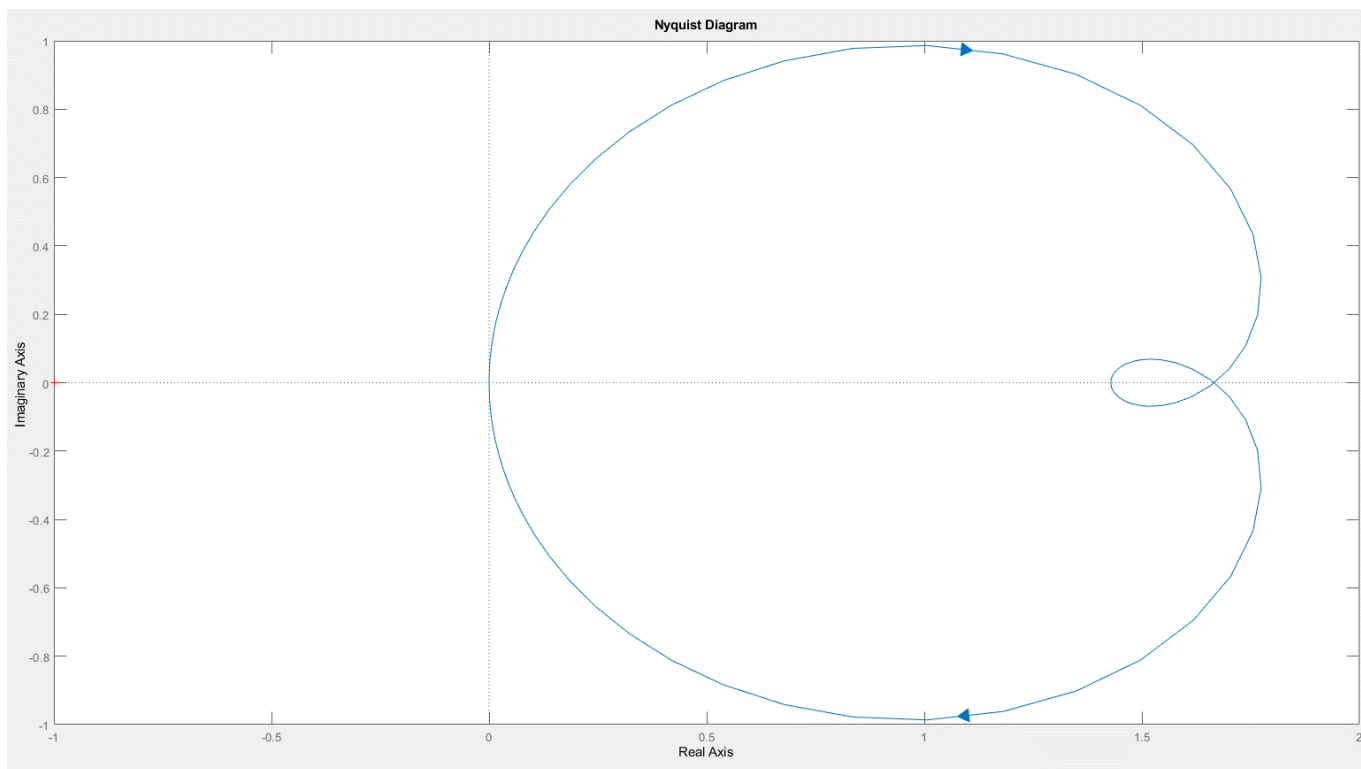


Рисунок 9: график АФЧХ разомкнутой системы при $k=10$

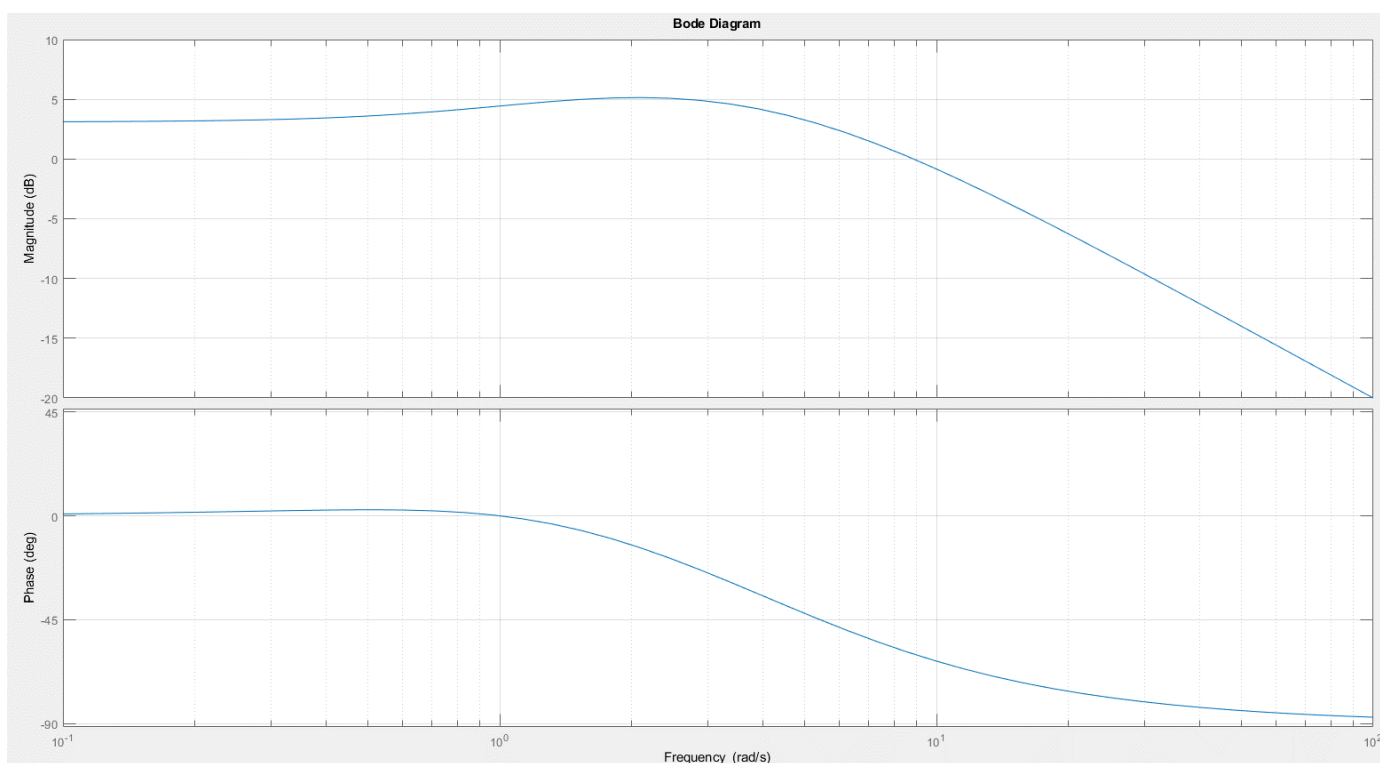


Рисунок 10: графики ЛАЧХ и ЛФЧХ разомкнутой системы при $k = 10$

1.3.

1.3.1. Запас устойчивости по амплитуде

Так как $U(\omega) = \frac{k(5\omega^2 + 7)}{\omega^4 + 22\omega^2 + 49} > 0$, если $k > 0$, то годограф Найквиста лежит в правой полуплоскости, а значит невозможно растянуть граф чтобы он коснулся критической точки $(-1,1)$, следовательно запас устойчивости по амплитуде для всех k равен бесконечности

1.3.2. Запас устойчивости по фазе

$$k = 1,5$$

Графики АЧХ при данных значениях k не достигают значения амплитуды равной 1. А следовательно, годограф не коснется критической точки при любом сдвиге по фазе. Значит запас устойчивости по фазе равен бесконечности

$$k = 10$$

Найдем ω_φ при котором значение амплитуды $A(\omega_\varphi) = 1$ (можно искать как аналитически, так и по пересечению ЛАЧХ с осью абсцисс)

$$A(\omega_\varphi) = \frac{10 \sqrt{\omega_\varphi^6 + 23\omega_\varphi^4 + 71\omega_\varphi^2 + 49}}{\omega_\varphi^4 + 22\omega_\varphi^2 + 49} = 1$$

$$\omega_\varphi = \sqrt{39 + 2\sqrt{393}} \approx 8.868$$

Тогда запас устойчивости по фазе $\varphi_3 = 180^\circ + \Psi(\omega_\varphi)$

$$\Psi(\omega_\varphi) = \text{atan}\left(\frac{-\omega_\varphi^3 + \omega_\varphi}{5\omega_\varphi^2 + 7}\right) = -1.044 \text{ rad} = -59.834 \text{ grad}$$

$$\varphi_3 = \pi - 1.044 = 2.098$$

1.4. Определение критического значения запаздывания для различных значений k

$$k = 1,5$$

Графики АЧХ при данных значениях k не достигают значения амплитуды равное 1, следовательно критическое значение запаздывания равно бесконечности (годограф может закручиваться бесконечно, не достигая критической точки)

$$k = 10$$

$$\tau_{cr} = \frac{\pi + \varphi}{\omega_\varphi} = \frac{\varphi_3}{\omega_\varphi} = \frac{2.098}{8.868} = 0.236566$$

1.5.

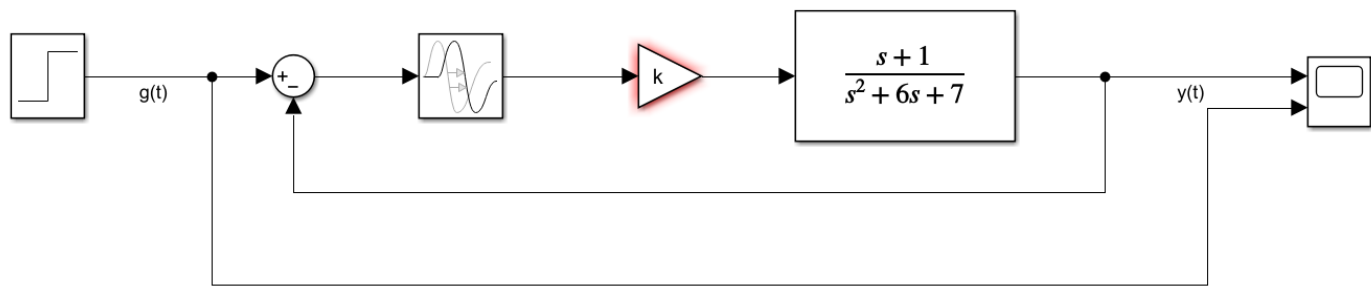


Рисунок 11: Схема моделирования системы

При $k = 1, k = 5$ значение критического запаздывания равно бесконечности, а значит число неустойчивых полюсов у разомкнутой и замкнутой систем одинаково

$k = 1$

$$\tau_{cr} = \infty$$

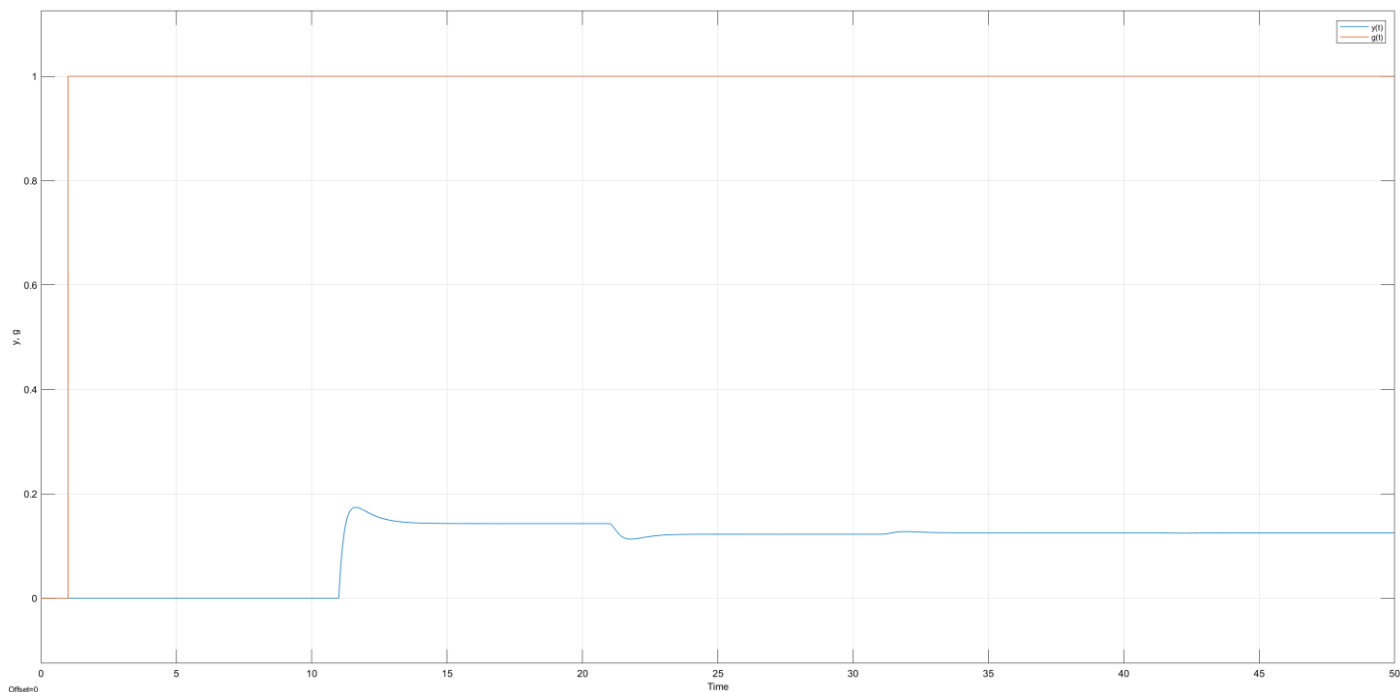


Рисунок 12: переходная характеристика системы при $k = 1, \tau_{cr} = 10, t \in [0, 50]$

$k = 5$

$$\tau_{cr} = \infty$$

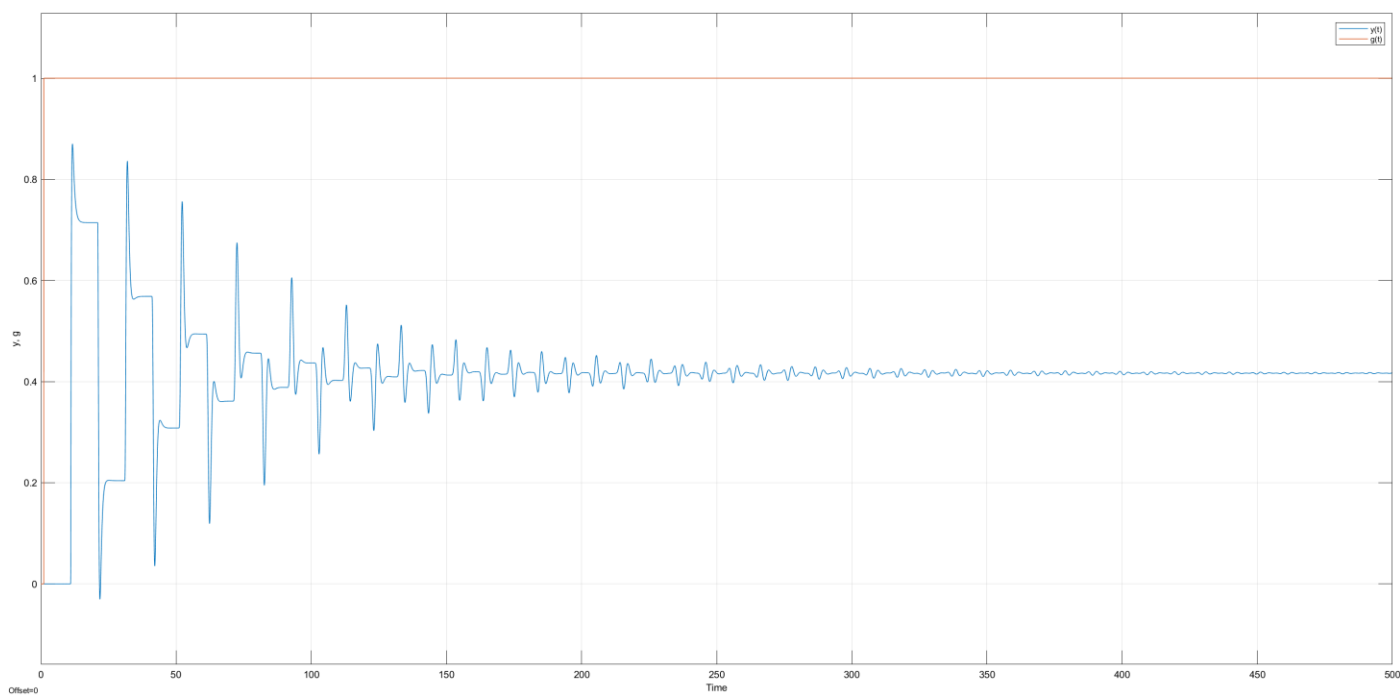


Рисунок 13: переходная характеристика системы при $k = 5, \tau_{cr} = 10, t \in [0, 500]$

$k = 10$

$$\tau_{cr} = 0.236566$$

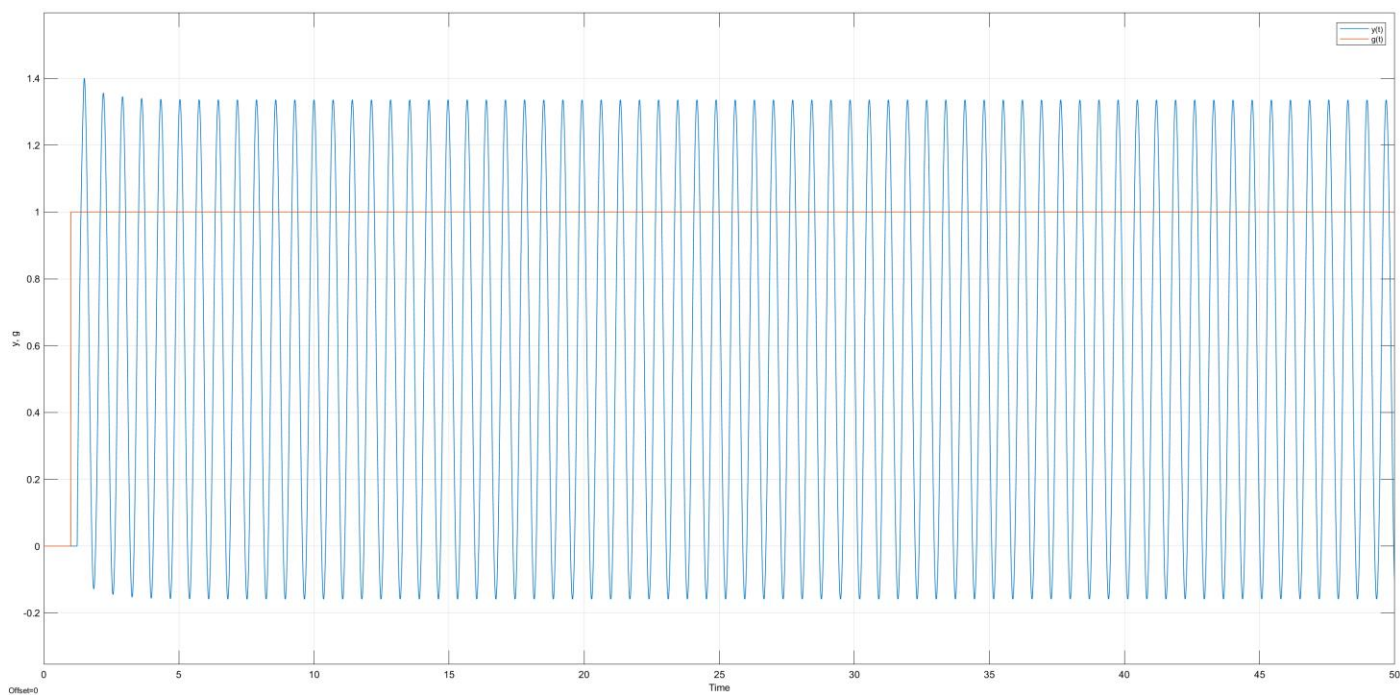


Рисунок 14: переходная характеристика системы при $k = 10, \tau_{cr} = 0.236566, t \in [0, 50]$

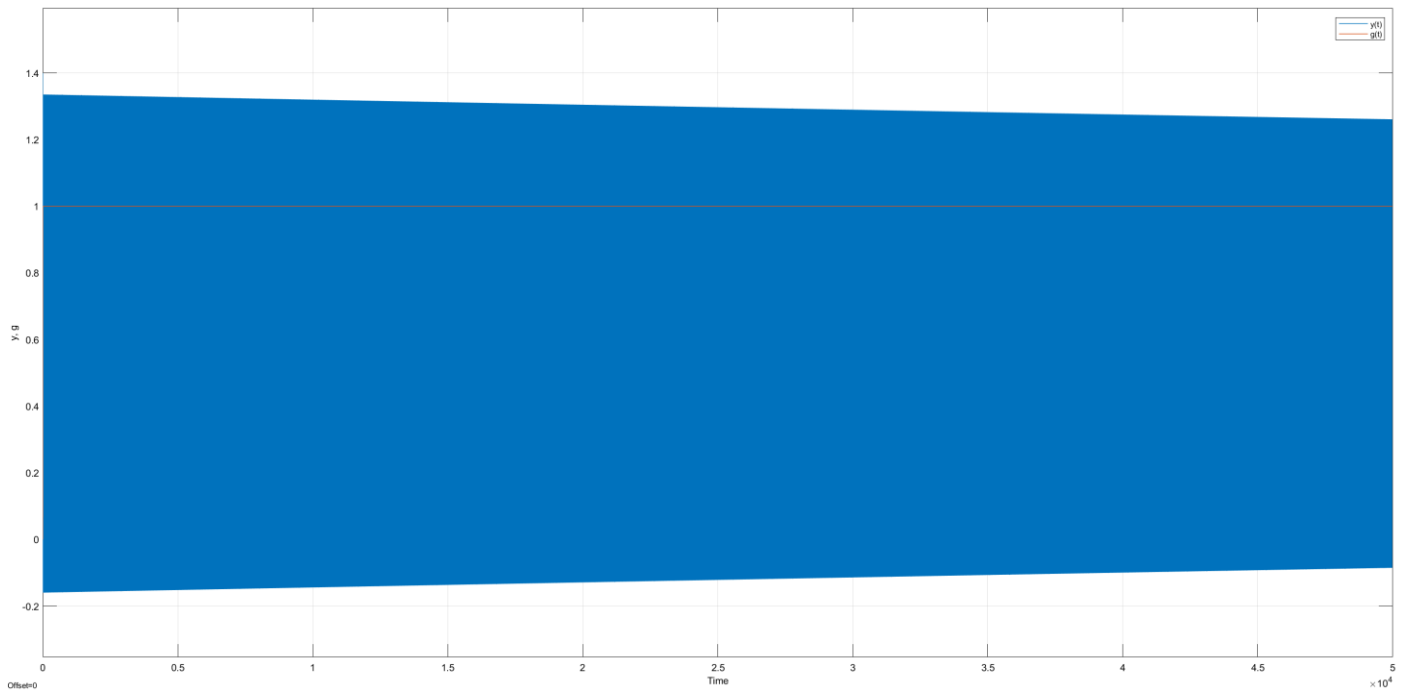


Рисунок 15: переходная характеристика системы при $k = 10$, $\tau_{cr} = 0.236566$, $t \in [0, 50000]$

При данном значении запаздывания наблюдаем затухающие колебания, которые удалось определить таковыми только при увеличении времени моделирования. Естественно значение $\tau_{cr} = 0.236566$ можно вычислить с большей точностью.

Рассмотрим переходную характеристику системы со значением большим критического запаздывания. Рассмотрим сразу при $t \in [0, 50000]$, так как отследить тип колебаний при таких значениях запаздывания можно только при большом времени моделирования

$$\tau = 0.236567$$

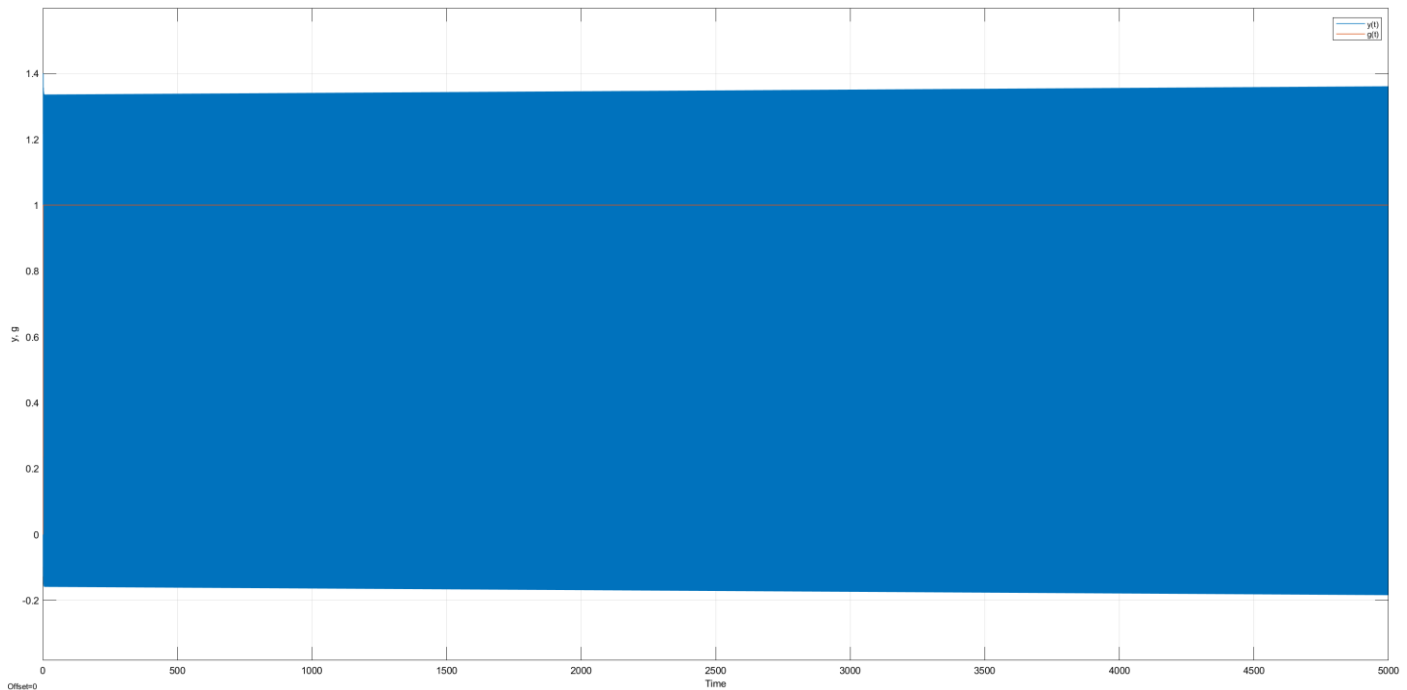


Рисунок 16: переходная характеристика системы при $k = 10$, $\tau_{cr} = 0.236567$, $t \in [0, 50000]$

Как и ожидалось мы увидели расходящиеся колебания, так как годограф охватил критическую точку и к системе добавился неустойчивый полюс

2. Расчет критических значений коэффициента усиления в замкнутой системе

2.1.

Передаточная функция разомкнутой системы с запаздыванием:

$$W_{open}(s) = \frac{s+1}{s^2+6s+7} e^{-\tau s}$$

Передаточная функция замкнутой системы с запаздыванием:

$$W_{closed}(s) = \frac{W_{open}(s)}{1+W_{open}(s)} = \frac{k(s+1)e^{-\tau s}}{s^2+6s+7+k(s+1)e^{-\tau s}}$$

2.2.

Частотная передаточная функция:

$$\begin{aligned} W_{open}(j\omega) &= \frac{j\omega+1}{-\omega^2+6j\omega+7} e^{-\tau j\omega} = \frac{\sqrt{\omega^6+23\omega^4+71\omega^2+49}}{\omega^4+22\omega^2+49} e^{j \operatorname{atan}\left(\frac{-\omega^3+\omega}{5\omega^2+7}\right)} e^{-\tau j\omega} = \\ &= \frac{\sqrt{\omega^6+23\omega^4+71\omega^2+49}}{\omega^4+22\omega^2+49} e^{j\left(\operatorname{atan}\left(\frac{-\omega^3+\omega}{5\omega^2+7}\right)-\tau\omega\right)} \end{aligned}$$

АЧХ:

$$A_{open}(\omega) = \frac{\sqrt{\omega^6+23\omega^4+71\omega^2+49}}{\omega^4+22\omega^2+49}$$

АЧХ не зависит от величины запаздывания. График представлен на Рисунке 2.

ФЧХ:

$$\Psi_{open}(\omega) = \operatorname{atan}\left(\frac{-\omega^3+\omega}{5\omega^2+7}\right) - \tau\omega$$

$\tau = 1$

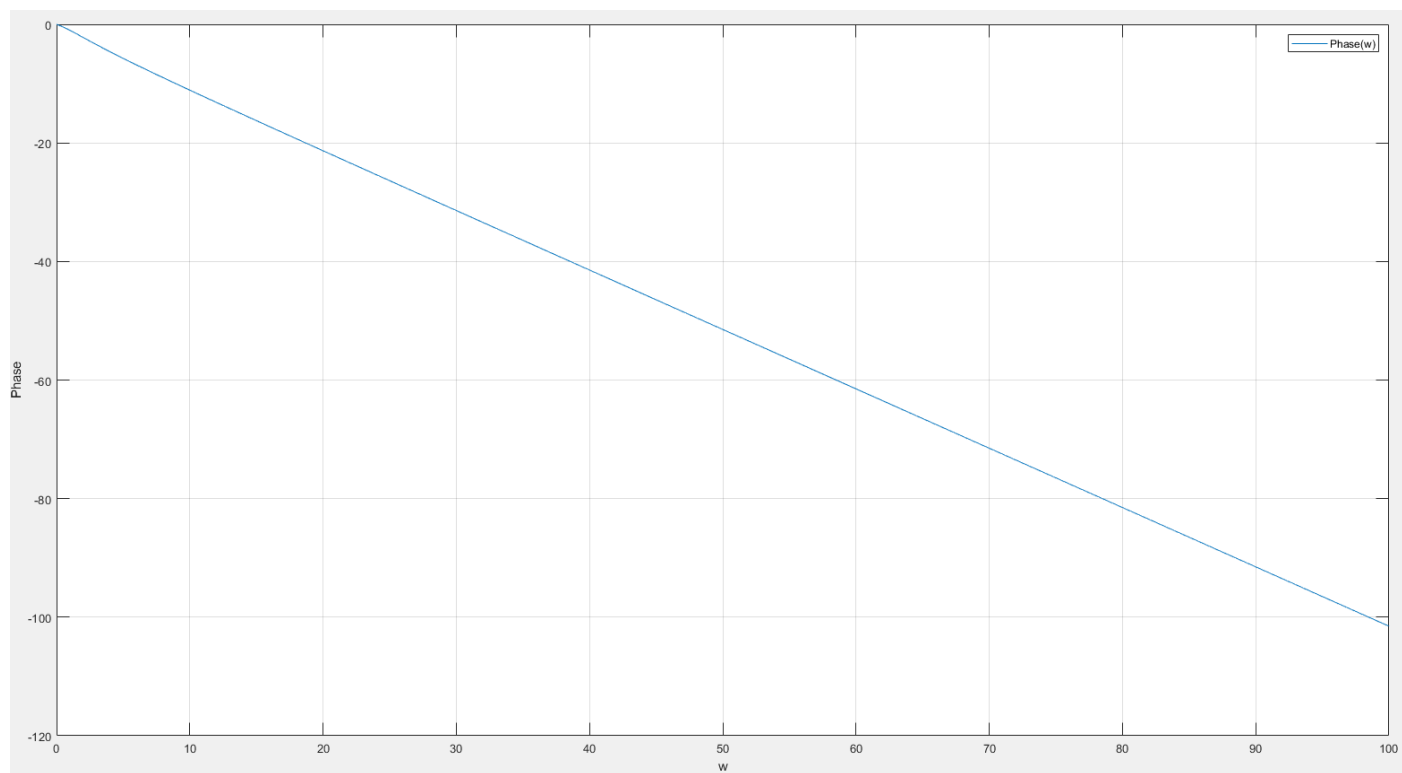


Рисунок 17: ФЧХ разомкнутой системы с запаздыванием $\tau = 1$

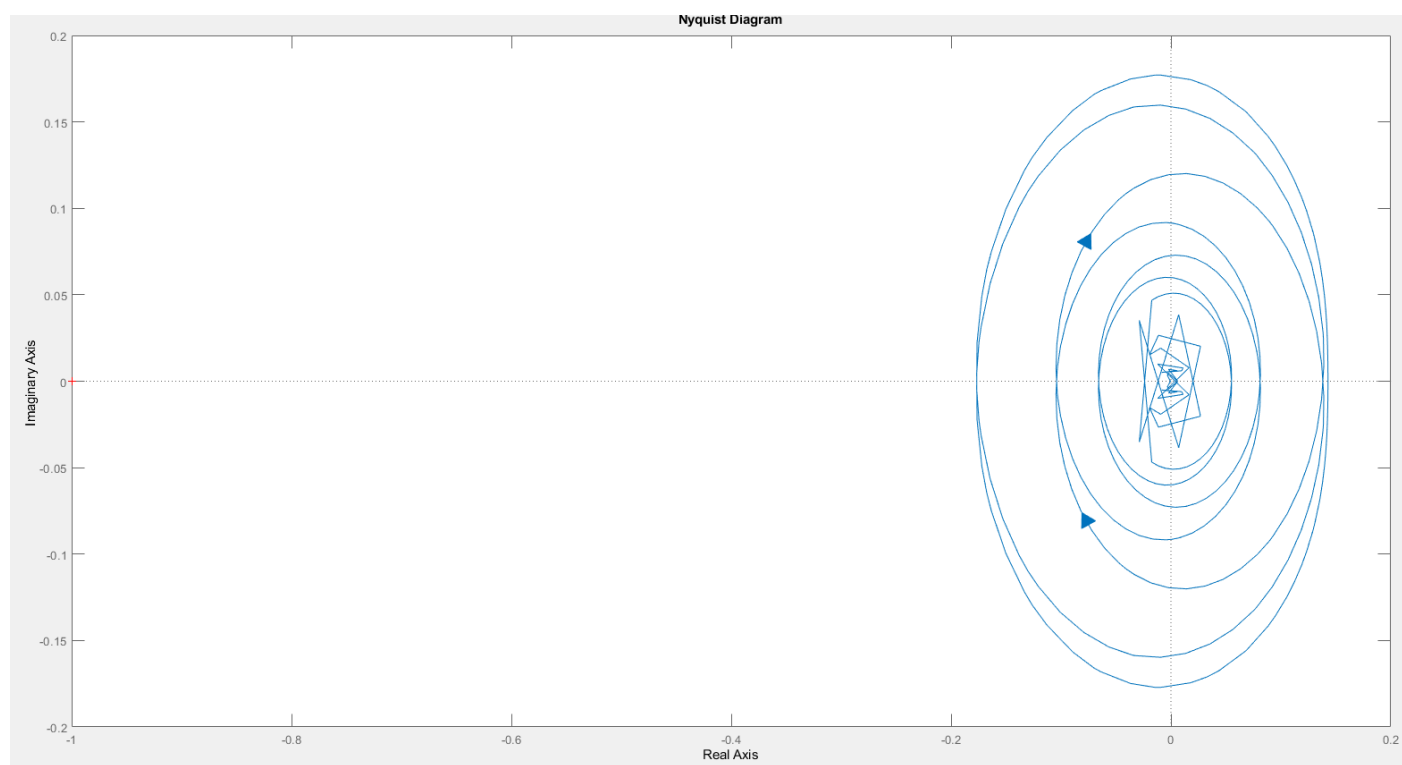


Рисунок 18: АФЧХ разомкнутой системы с запаздыванием $\tau = 1$

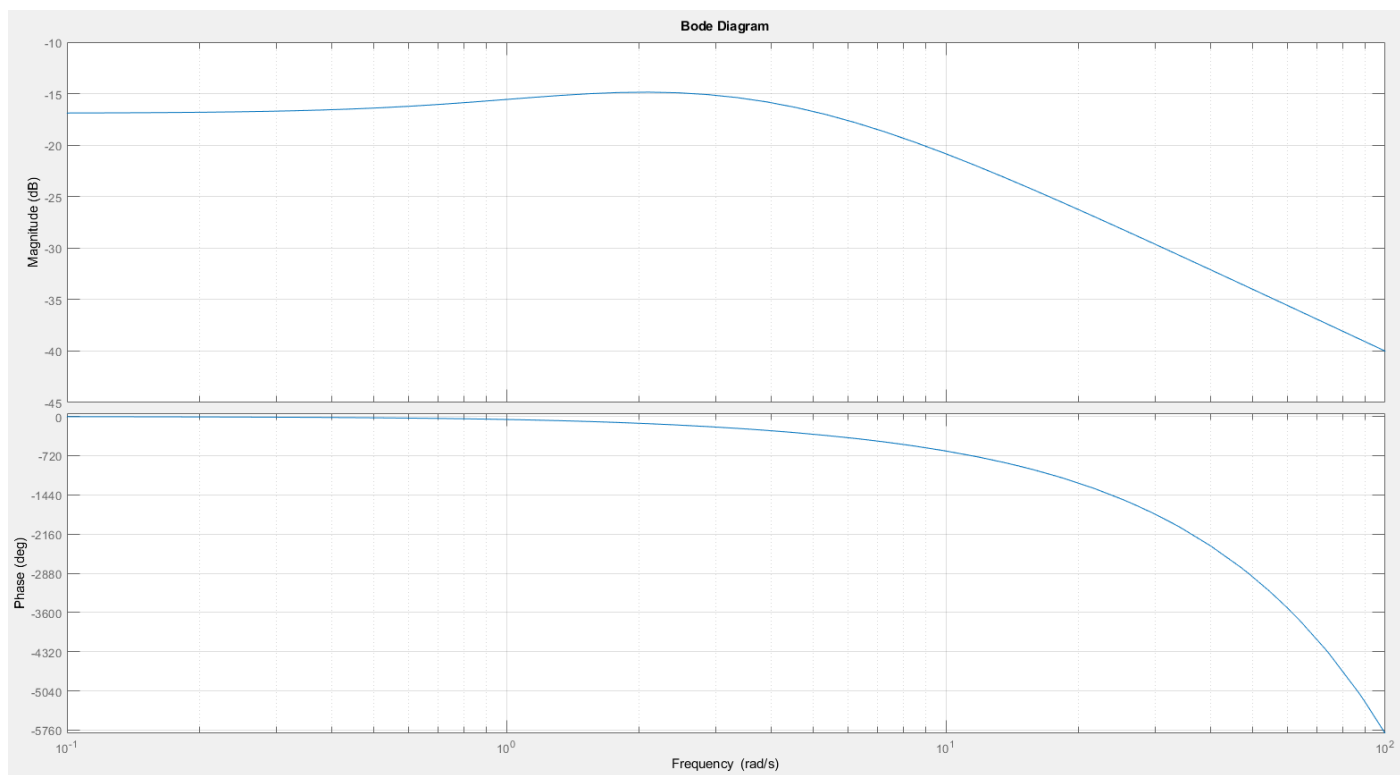


Рисунок 19: ЛАЧХ и ЛФЧХ разомкнутой системы при $\tau = 1$

$\tau = 5$

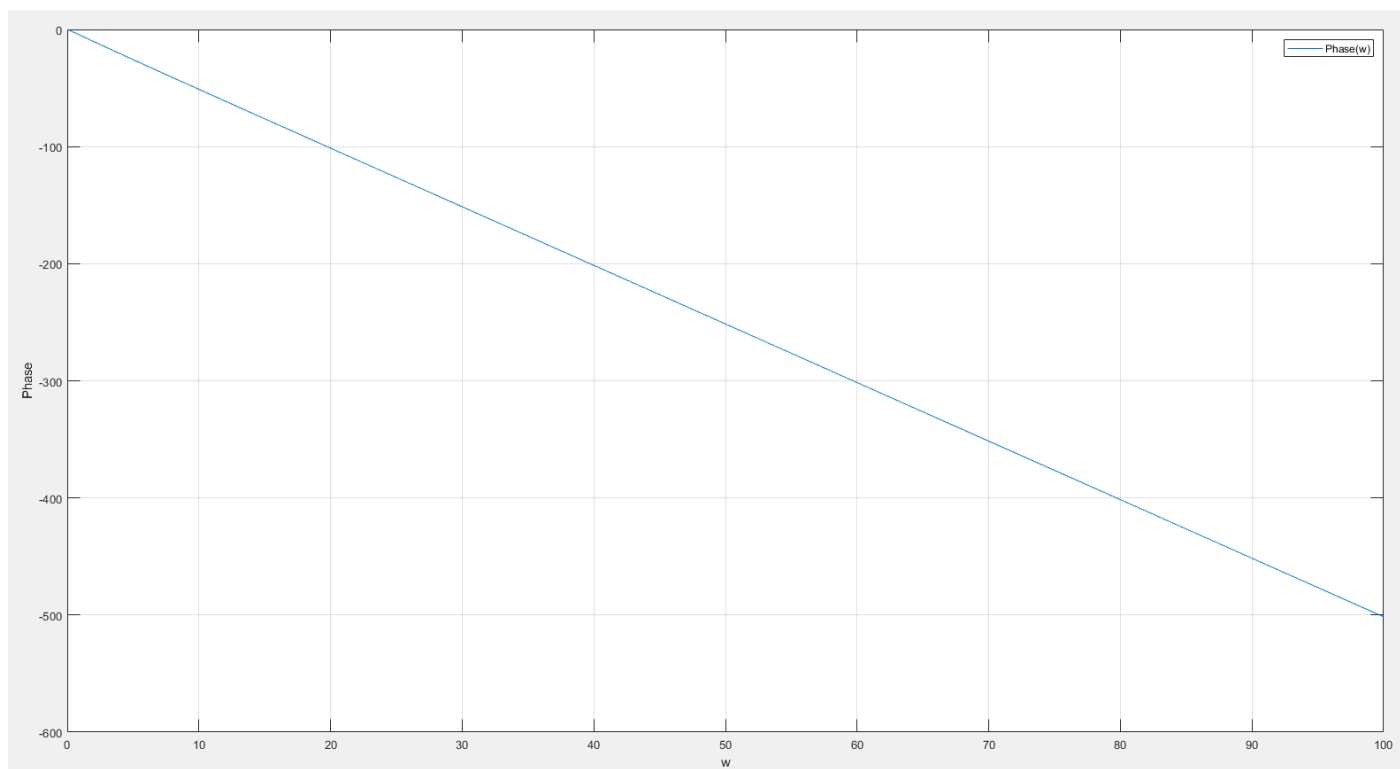


Рисунок 20: ФЧХ разомкнутой системы с запаздыванием $\tau = 5$

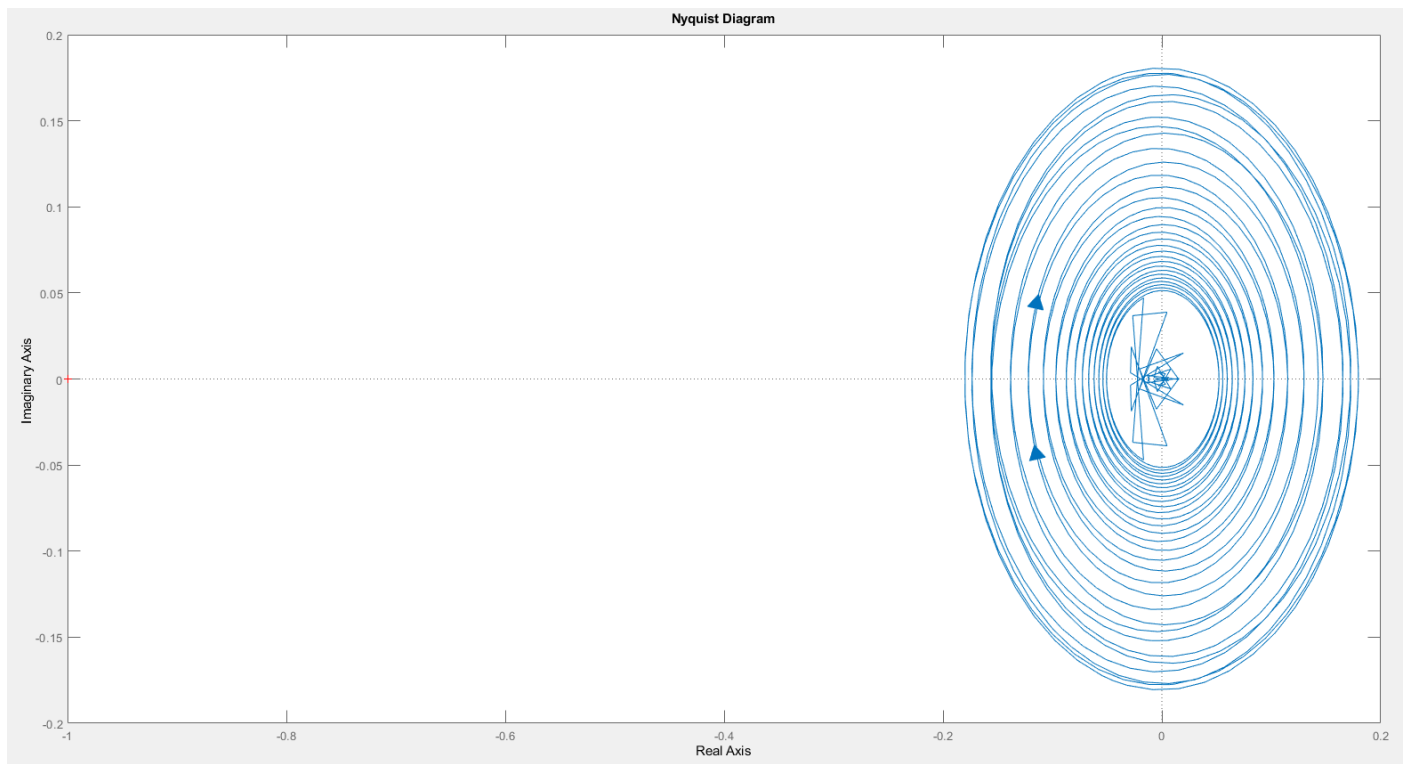


Рисунок 21: АФЧХ разомкнутой системы с запаздыванием $\tau = 5$

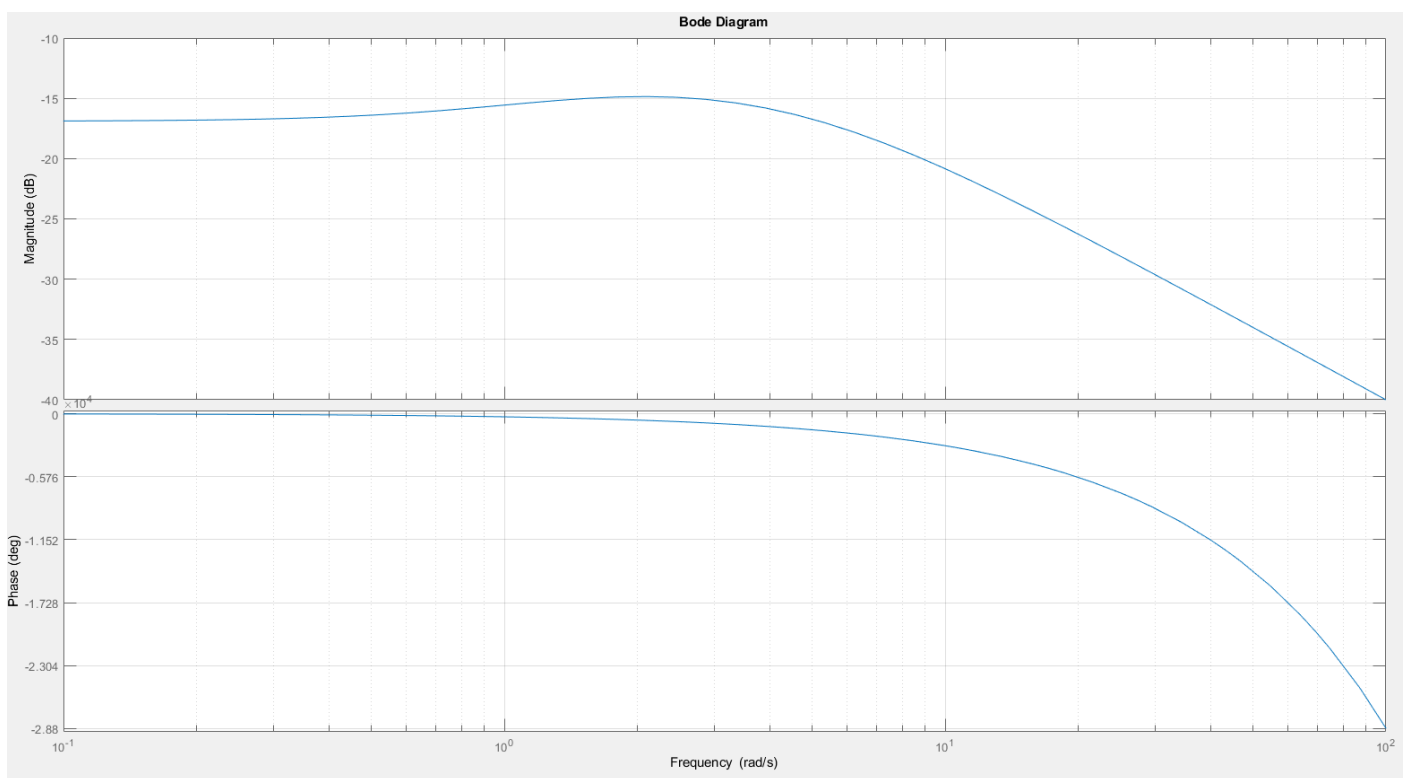


Рисунок 22: ЛАЧХ и ЛФЧХ разомкнутой системы при $\tau = 5$

$\tau = 10$

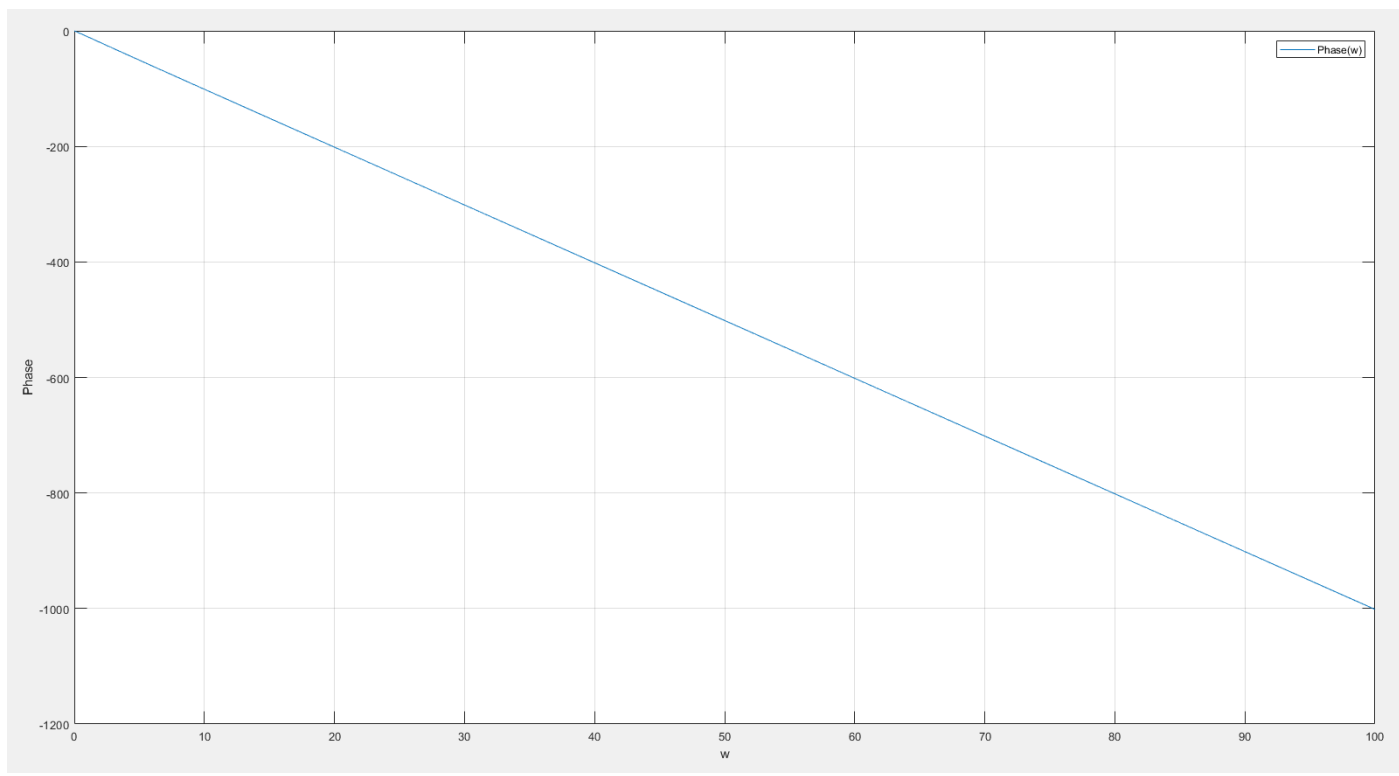


Рисунок 23: ФЧХ разомкнутой системы с запаздыванием $\tau = 10$

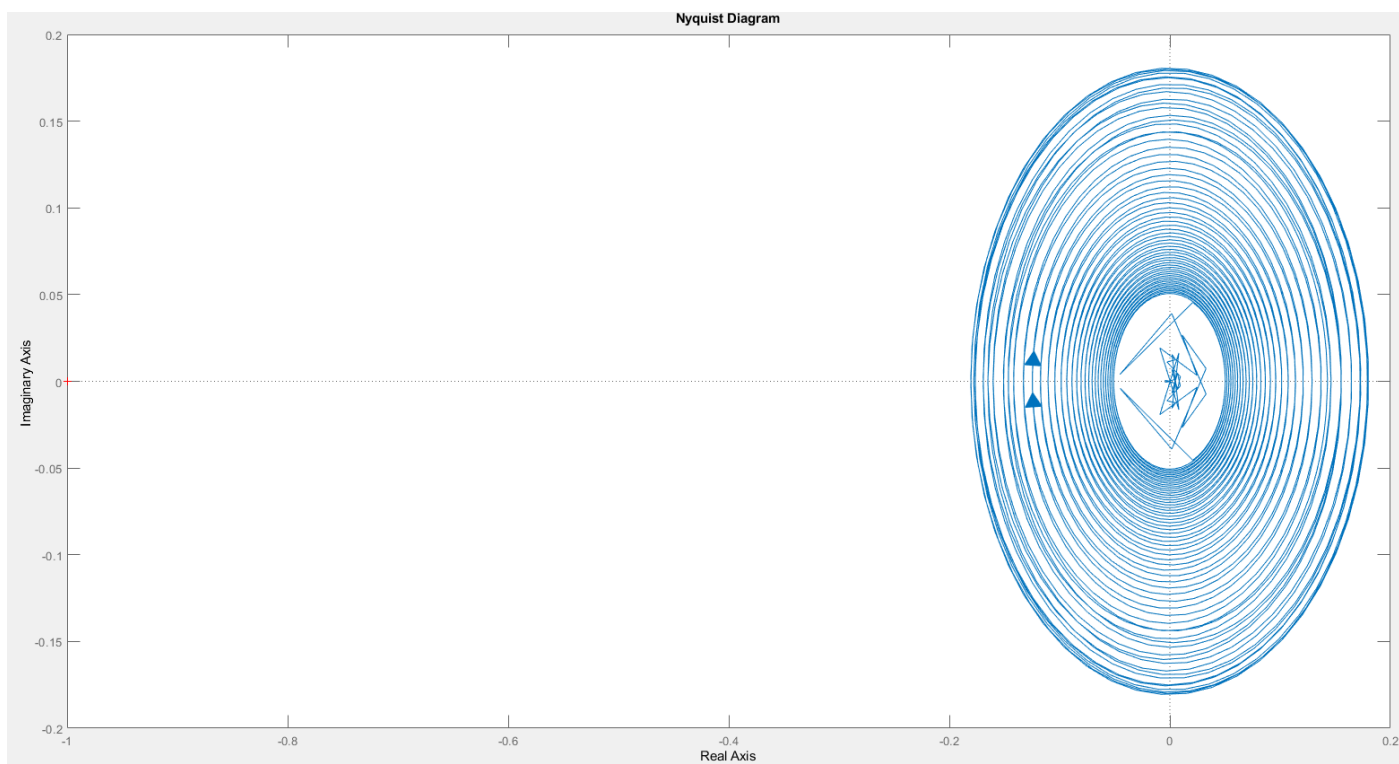


Рисунок 24: АФЧХ разомкнутой системы с запаздыванием $\tau = 10$

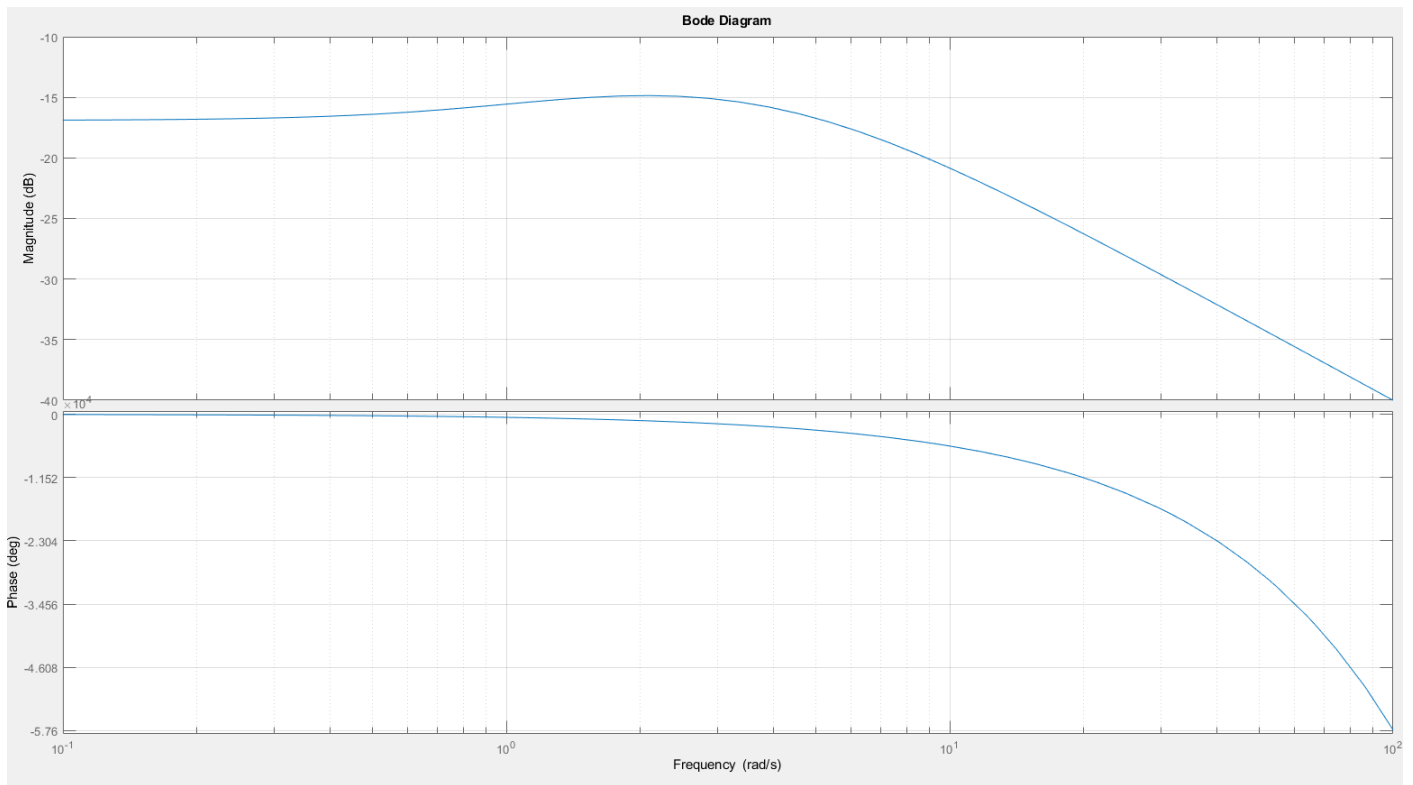


Рисунок 25: ЛАЧХ и ЛФЧХ разомкнутой системы при $\tau = 10$

2.3.

2.3.1. Запас устойчивости по амплитуде

Найдем ω_A при котором значение фазы $\Psi_{open}(\omega_A) = -\pi - 2\pi n$, $n = 1, 2, 3 \dots$

$$\Psi_{open}(\omega_A) = \text{atan}\left(\frac{-\omega_A^3 + \omega_A}{5\omega_A^2 + 7}\right) - \tau\omega_A = -\pi$$

Тогда запас по амплитуде будет

$$A_3 = \frac{1}{A(\omega_A)}$$

$\tau = 1$

$$\omega_A = 2.757, \quad A(\omega_A) = 0.1772$$

$$A_3 = \frac{1}{0.1772} = 5.6433$$

$\tau = 5$

$$\omega_{A_1} = 0.636701, \quad \omega_{A_2} = 1.84828, \quad A(\omega_{A_1}) = 0.1556, \quad A(\omega_{A_2}) = 0.1803$$

$$A_{3_1} = \frac{1}{0.1556} = 6.4267, \quad A_{3_2} = \frac{1}{0.1803} = 5.5457$$

$\tau = 10$

$$\omega_{A_1} = 0.318, \omega_{A_2} = 0.94338, \omega_{A_3} = 1.5592, \omega_{A_4} = 2.17328$$

$$A(\omega_{A_1}) = 0.1466, A(\omega_{A_2}) = 0.1651, A(\omega_{A_3}) = 0.1779, A(\omega_{A_4}) = 0.1807$$

$$A_3 = \frac{1}{0.1466} = 6.8213, A_{3_2} = \frac{1}{0.1651} = 6.0569, A_{3_2} = \frac{1}{0.1807} = 5.5330$$

2.3.2. Запас устойчивости по фазе

Графики АЧХ при данных значениях τ не достигают значения амплитуды равной 1. А следовательно, годограф не коснется критической точки при любом сдвиге по фазе. Значит запас устойчивости по фазе равен бесконечности

2.4.

Критическое значение для коэффициента усиления равен минимальному запасу устойчивости по амплитуде

$$\tau = 1, K_{max} = 5.6433$$

$$\tau = 5, K_{max} = 5.5457$$

$$\tau = 10, K_{max} = 5.5330$$

2.5.

Схема моделирования системы представлена на Рисунке 11

$$\tau = 1$$

$$k = K_{max} = 5.6433$$

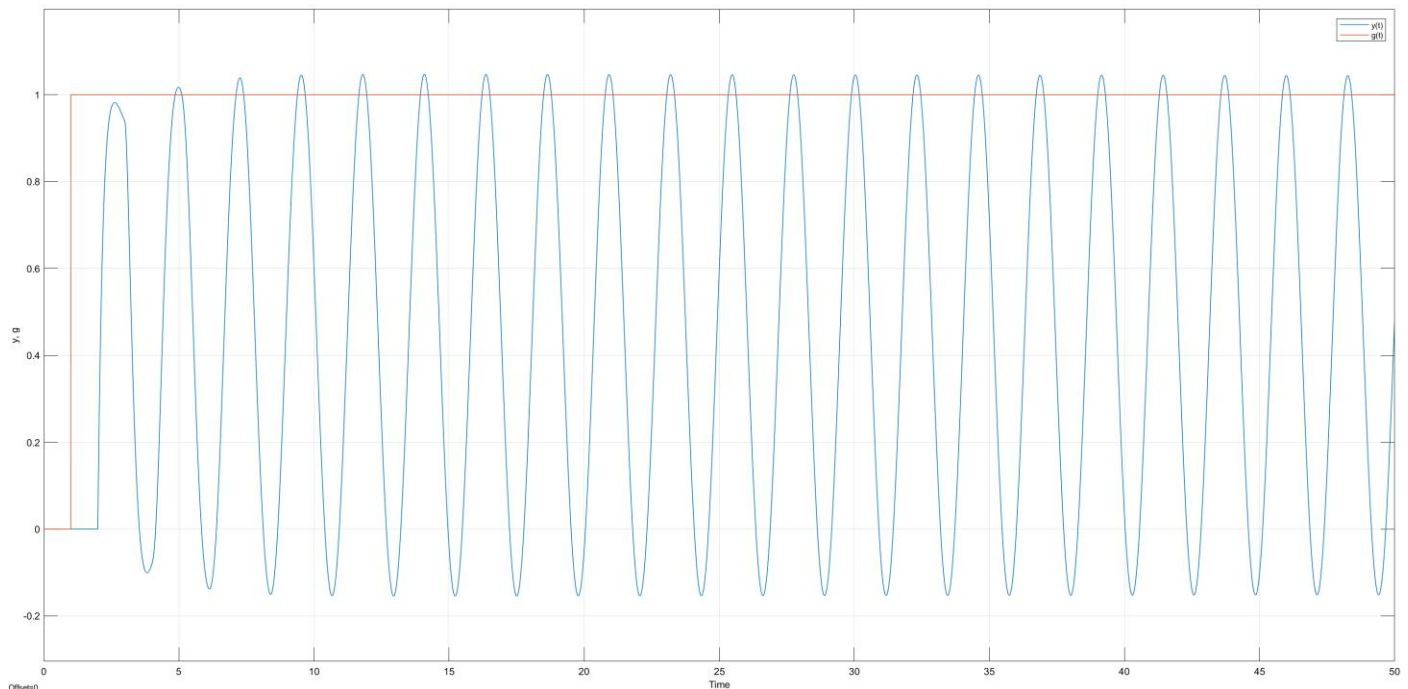


Рисунок 26: переходная характеристика замкнутой системы при $\tau = 1, k = 5.6433, t \in [0, 50]$

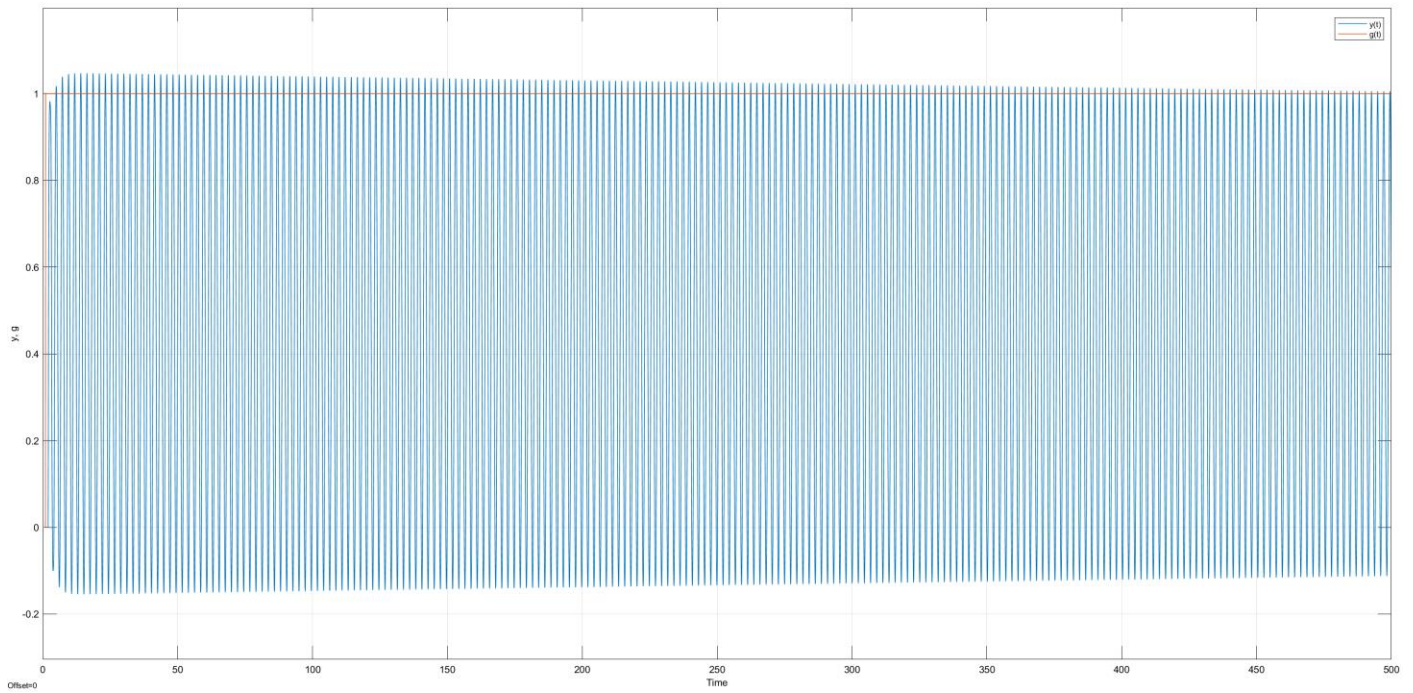


Рисунок 27: переходная характеристика замкнутой системы при $\tau = 1, k = 5.6433, t \in [0, 500]$

При критическом коэффициенте усиления наблюдаем затухающие колебания, рассмотрим коэффициент усиления больший критического

$$k = 5.6445$$

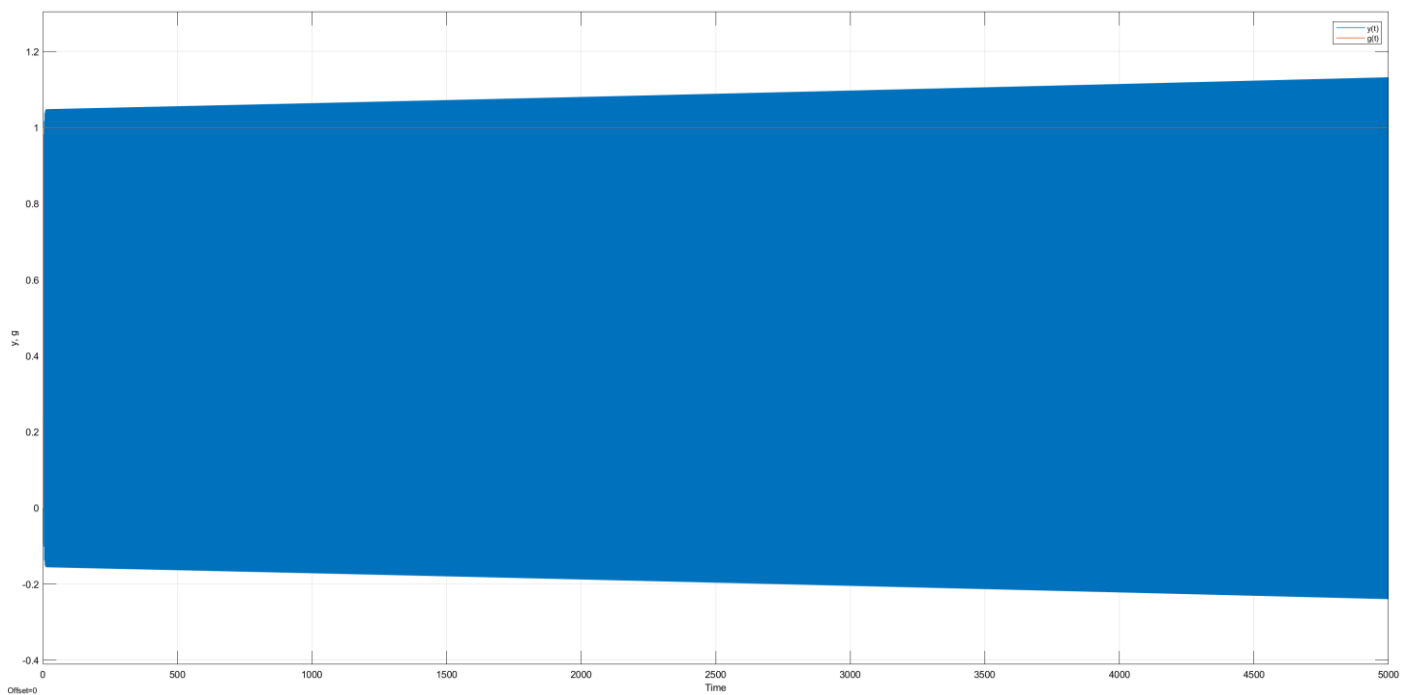


Рисунок 28: переходная характеристика замкнутой системы при $\tau = 1, k = 5.6445, t \in [0, 5000]$

Так как годограф захватил критическую точку, то по критерию Найквиста у замкнутой системы появился неустойчивый полюс, следовательно колебания стали расходящимися.

$$\tau = 5$$

$$k = K_{max} = 5.5457$$

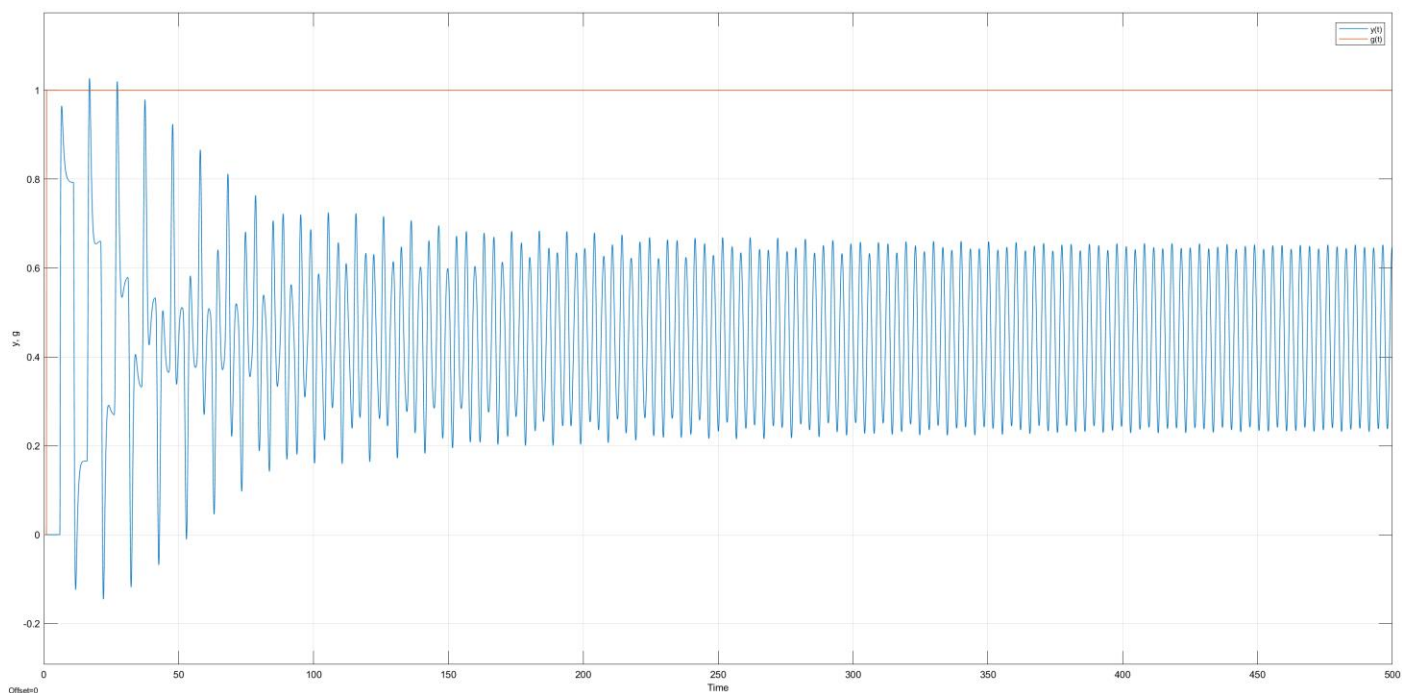


Рисунок 29: переходная характеристика замкнутой системы при $\tau = 5, k = 5.5457, t \in [0, 500]$

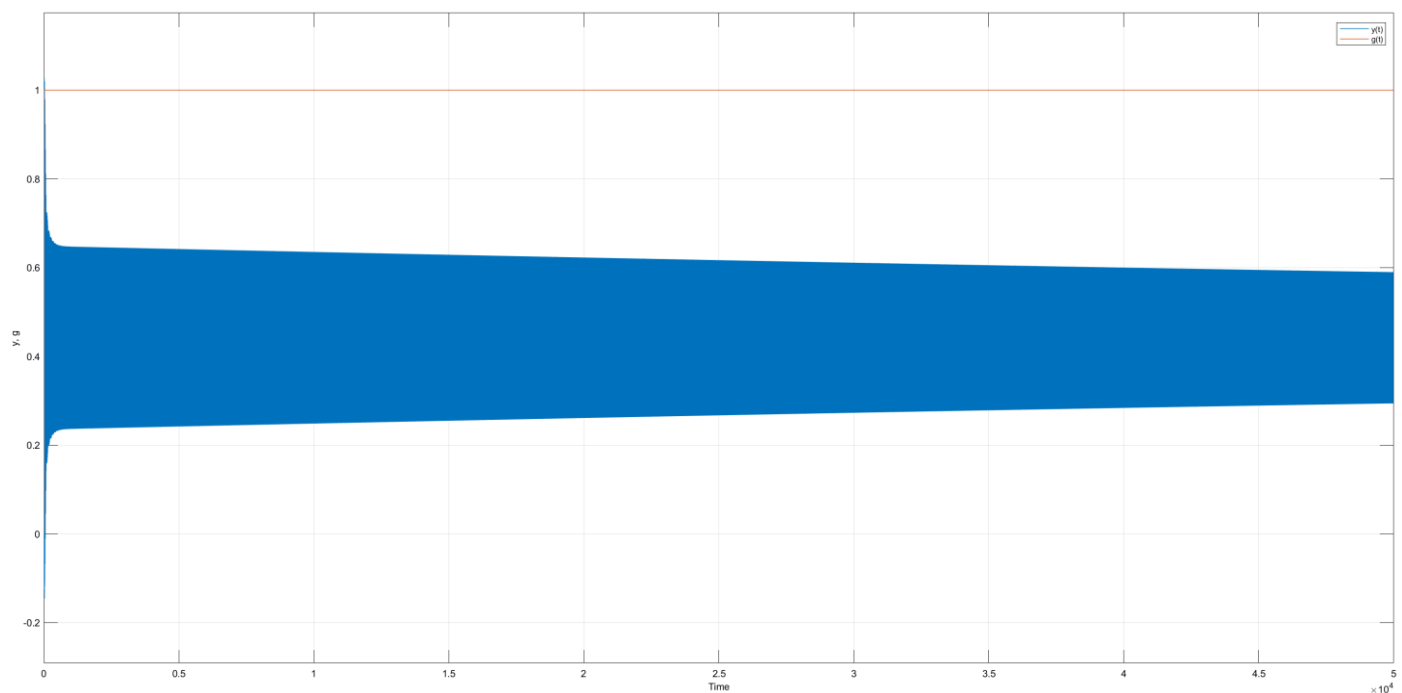


Рисунок 30: переходная характеристика замкнутой системы при $\tau = 5, k = 5.5457, t \in [0, 50000]$

При критическом коэффициенте усиления наблюдаем затухающие колебания, рассмотрим коэффициент усиления больший критического

$$k = 5.546$$

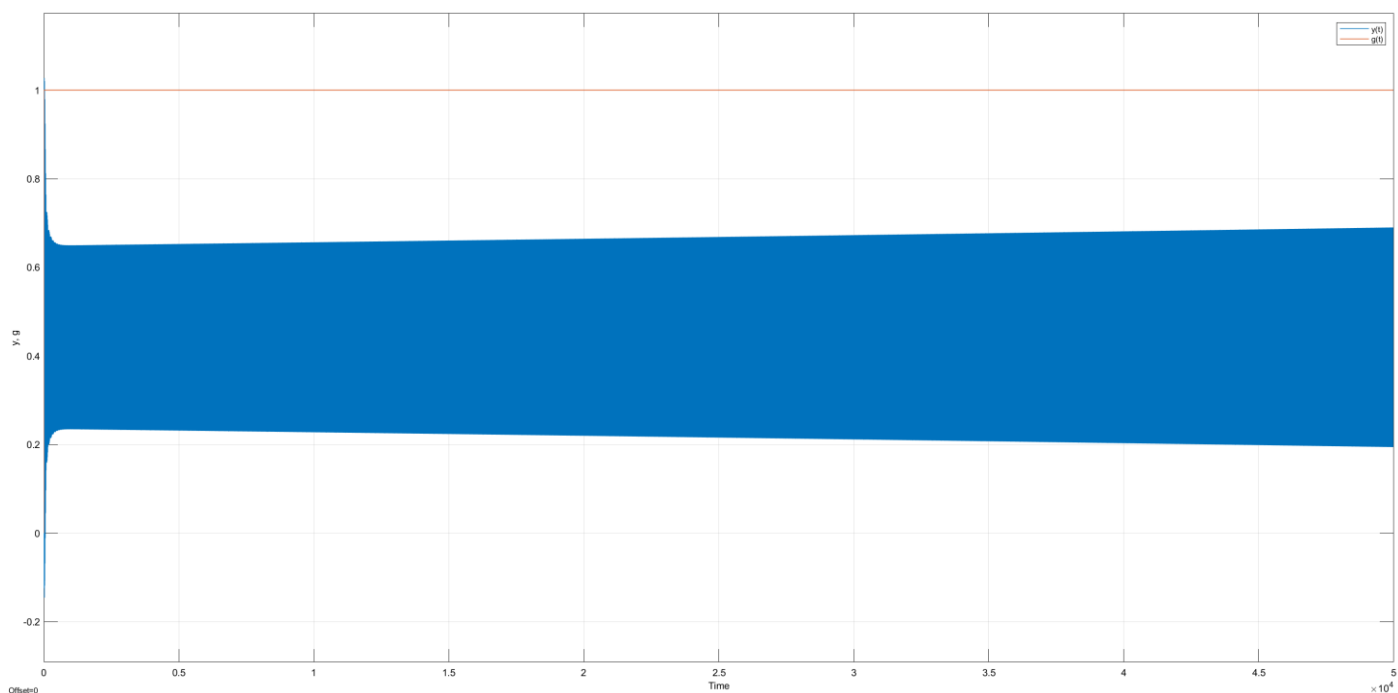


Рисунок 31: переходная характеристика замкнутой системы при $\tau = 5, k = 5.546, t \in [0, 50000]$

Так как годограф захватил критическую точку, то по критерию Найквиста у замкнутой системы появился неустойчивый полюс, следовательно колебания стали расходящимися.

$\tau = 10$

$$k = K_{max} = 5.5330$$

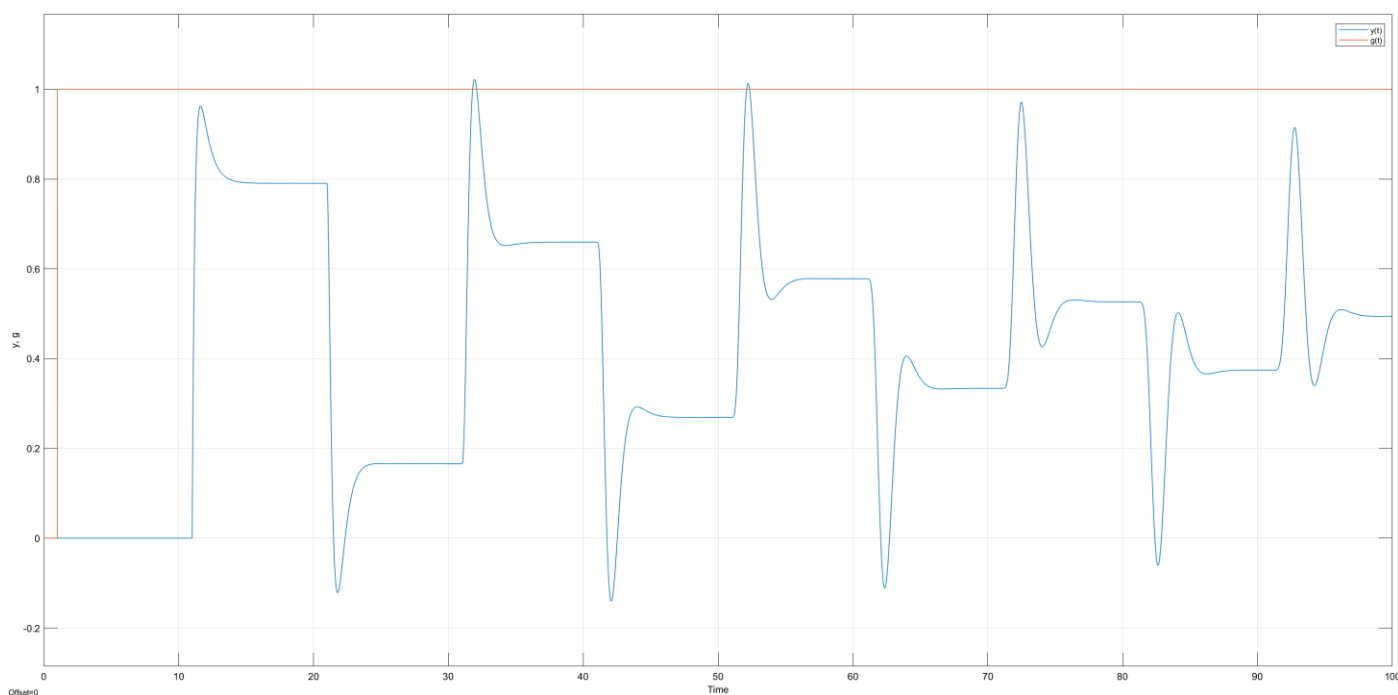


Рисунок 32: переходная характеристика замкнутой системы при $\tau = 10, k = 5.5330, t \in [0, 100]$

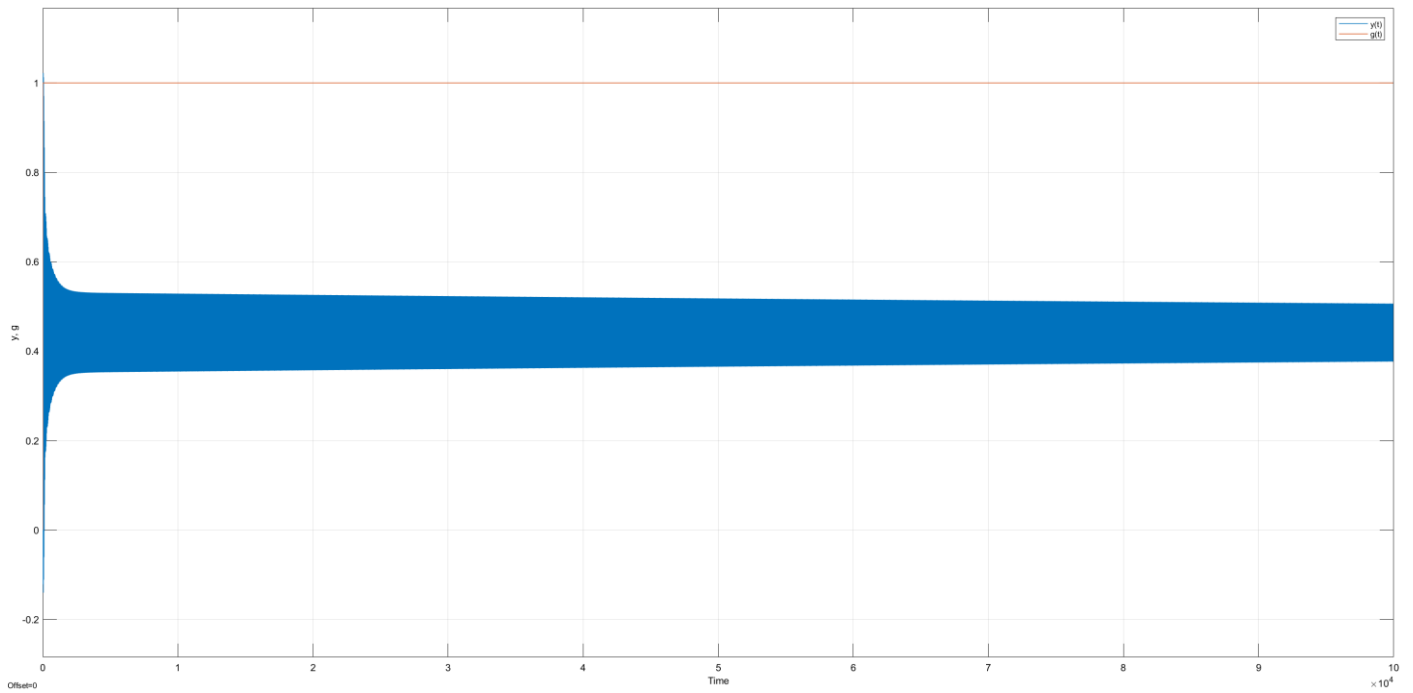


Рисунок 33: переходная характеристика замкнутой системы при $\tau = 10, k = 5.5330, t \in [0, 100000]$

При критическом коэффициенте усиления наблюдаем затухающие колебания, рассмотрим коэффициент усиления больший критического

$$k = 5.5340$$

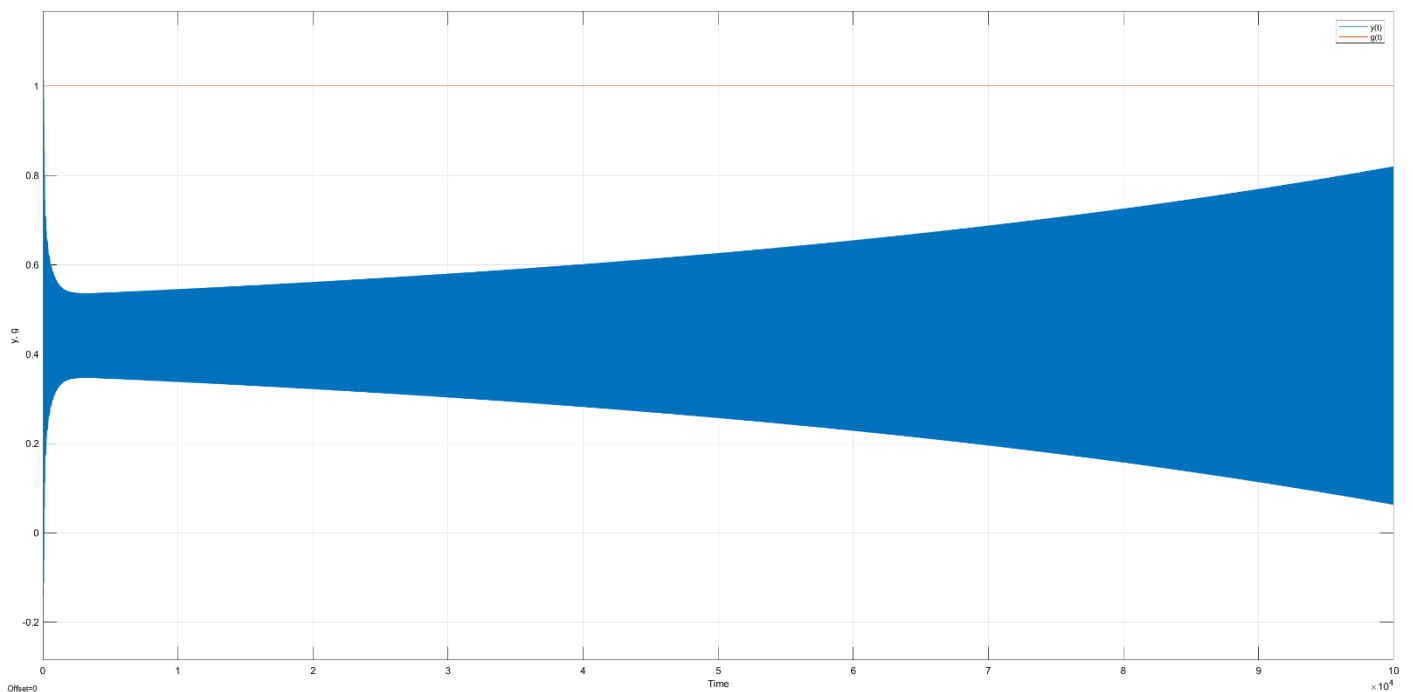


Рисунок 34: переходная характеристика замкнутой системы при $\tau = 10, k = 5.5340, t \in [0, 100000]$

3. Зависимость критических значений запаздывания и коэффициента усиления для замкнутой системы

3.1.

Приравняем модуль к единице:

$$k \frac{\sqrt{\omega^6 + 23\omega^4 + 71\omega^2 + 49}}{\omega^4 + 22\omega^2 + 49} = 1$$

Найдем частоту, соответствующую критической точке:

$$\omega = \frac{\sqrt{k^2 + \sqrt{k^4 - 40k^2 + 288}} - 22}{\sqrt{2}}$$

Фазовый сдвиг по этой частоте:

$$\Psi(\omega) = \text{atan}\left(\frac{-\omega^3 + \omega}{5\omega^2 + 7}\right)$$

Критическое запаздывание:

$$\tau_{cr} = \frac{\pi + \varphi}{\omega_{\varphi}} = \frac{\pi + \text{atan}\left(\frac{-\omega^3 + \omega}{5\omega^2 + 7}\right)}{\omega}$$

3.2.

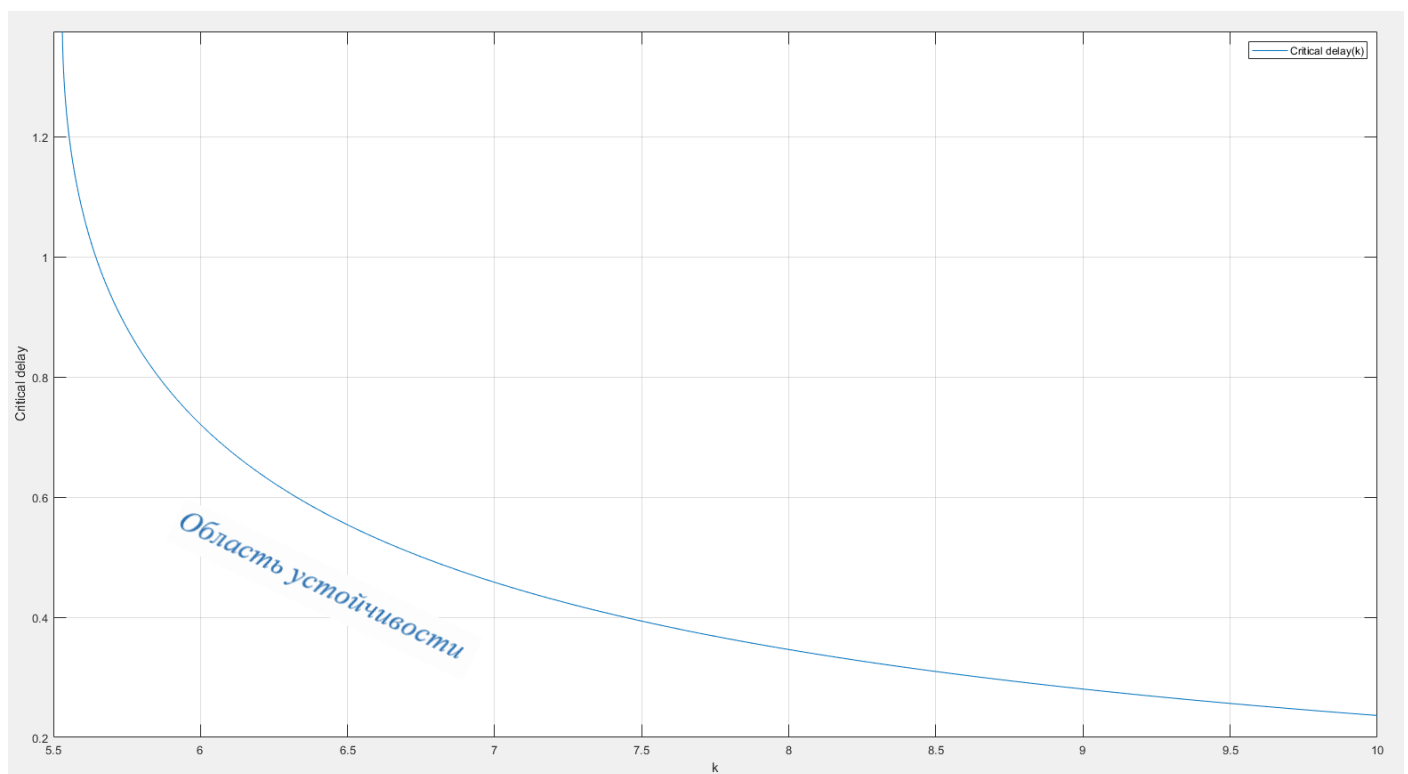


Рисунок 35: график зависимости критического запаздывания от коэффициента усиления

Выводы

В данной лабораторной работе исследовались критические значения запаздывания и коэффициента усиления и их зависимость. Были найдены запасы устойчивости по амплитуде и фазе при различных значениях k и τ . По приближенно вычисленным критическим значениям были построены переходные характеристики системы, которые были проверкой найденного значения (переходная характеристика системы со значением большим критическому становилась расходящейся из-за добавления неустойчивого полюса у передаточной функции по критерию Найквиста). В завершении была найдена зависимость критических значений запаздывания от коэффициента усиления и по нему найдена область устойчивости системы.